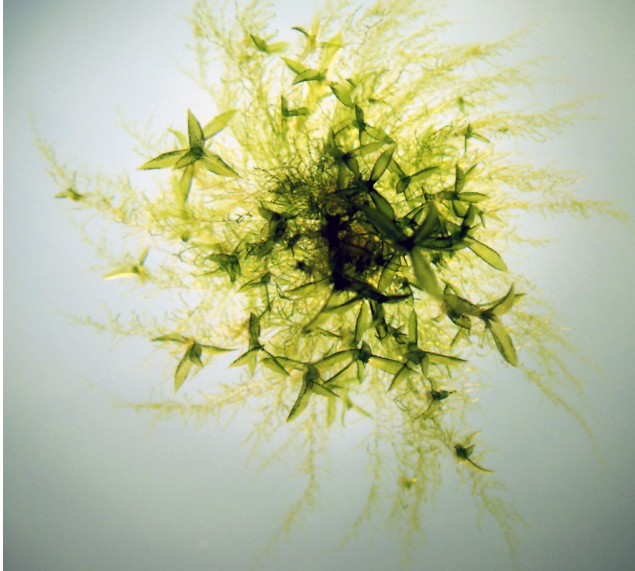


*Physcomitrium patens* (Musgos)



*Marchantia polymorpha*  
(Hepáticas)



*Anthoceros agrestis*  
(Antoceros)



# LAS BRIÓFITAS como MODELOS de crecimiento y desarrollo en la evolución vegetal

**Laura Saavedra**

[laura.saavedra@conicet.gov.ar](mailto:laura.saavedra@conicet.gov.ar)

BMV 2024

CONICET

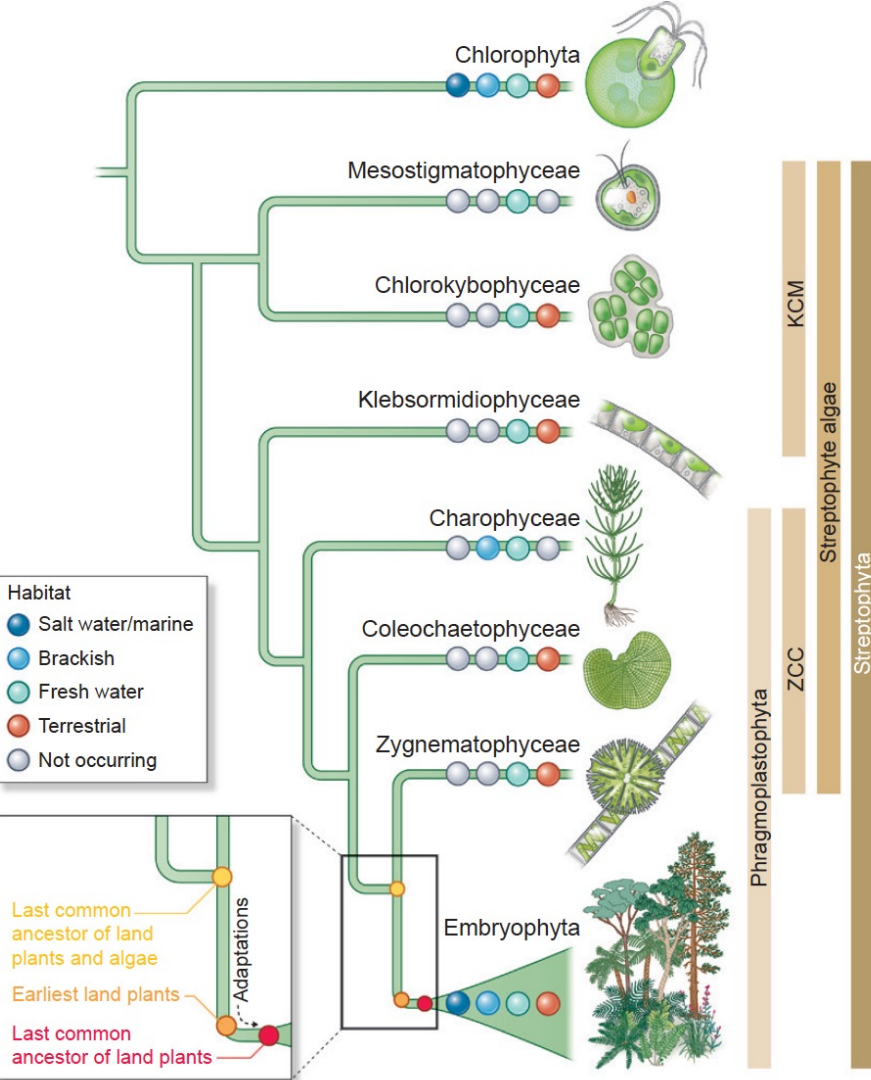
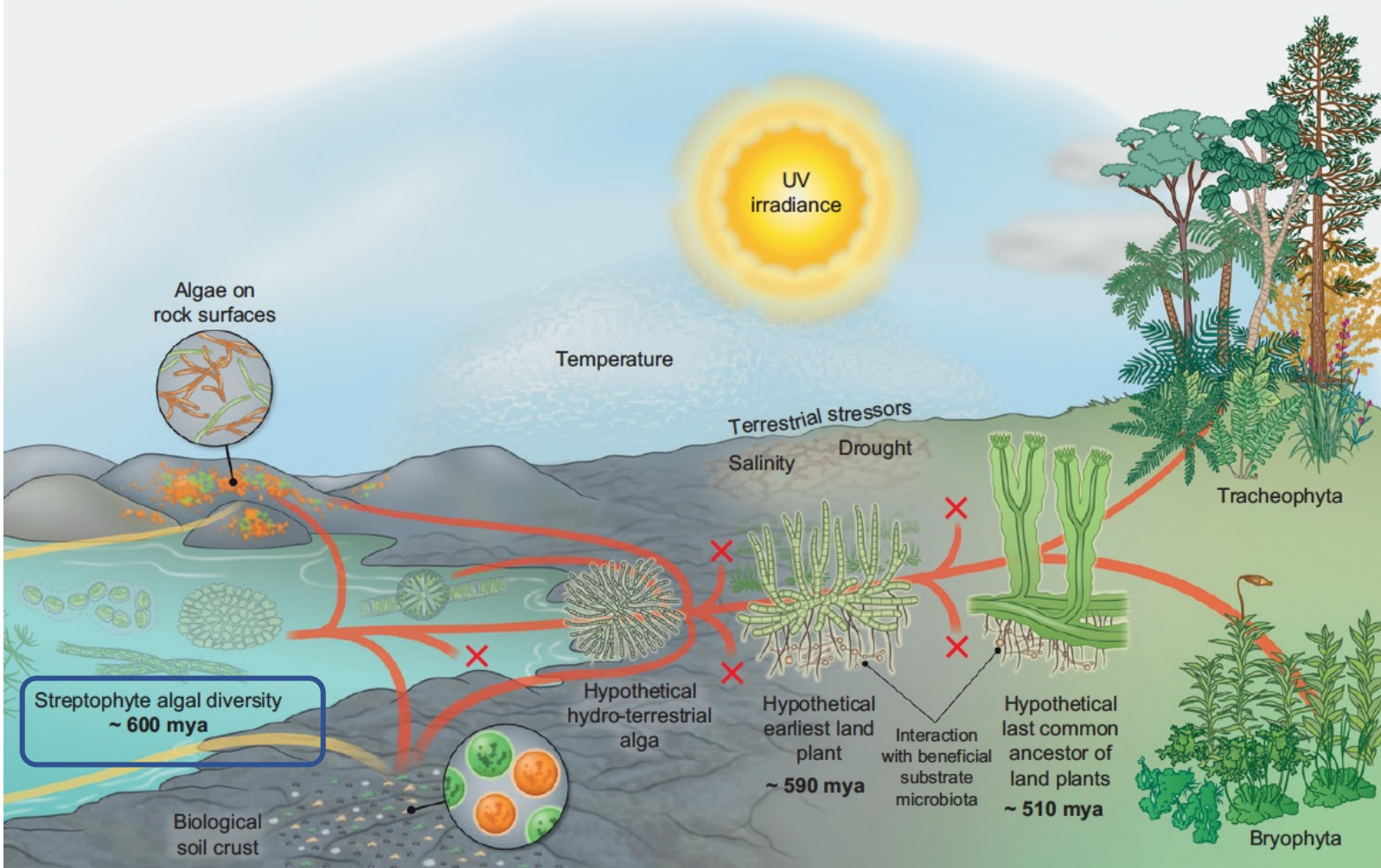


U D E A

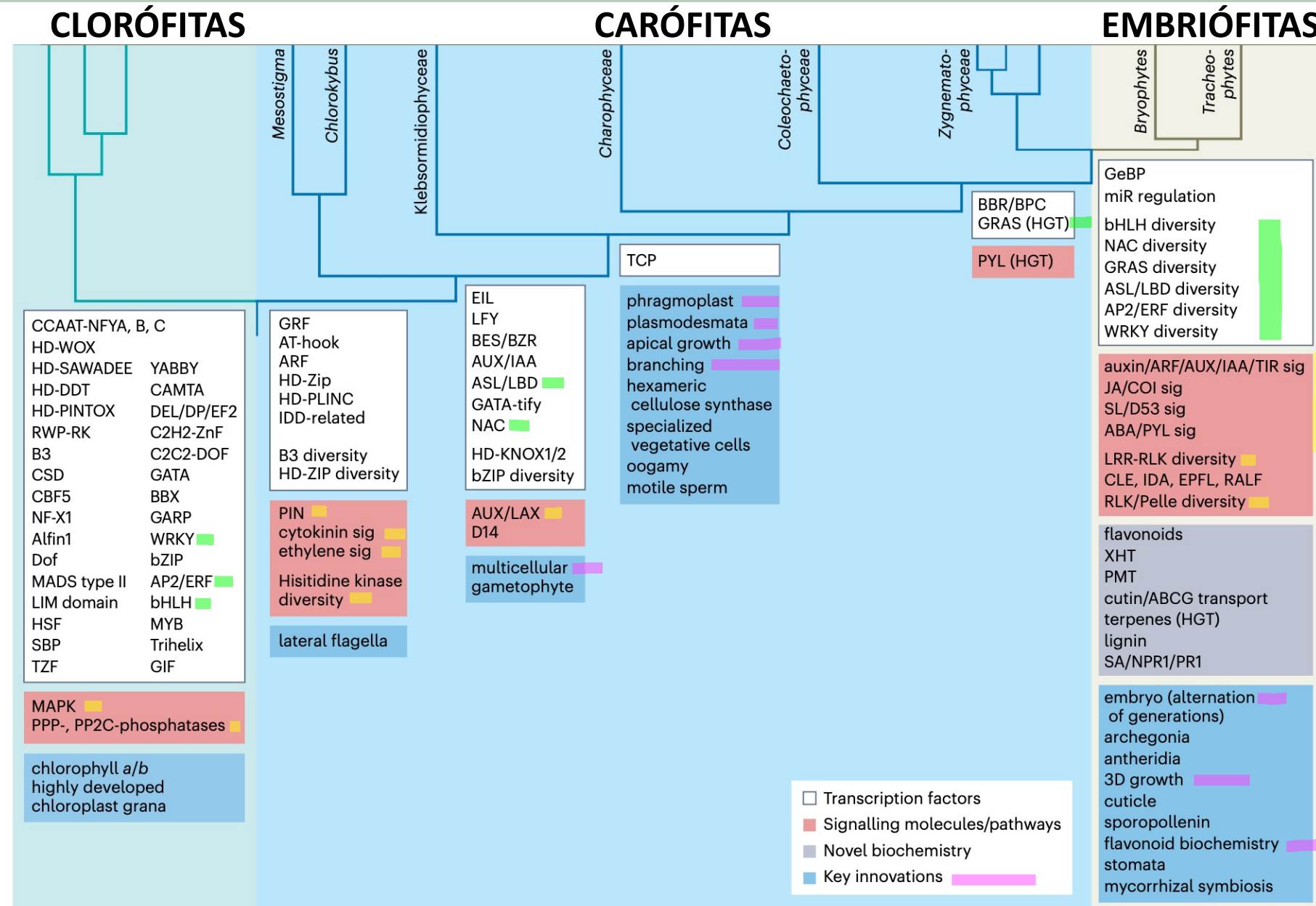


UNC

# Escenario evolutivo de la conquista terrestre de las embriófitas



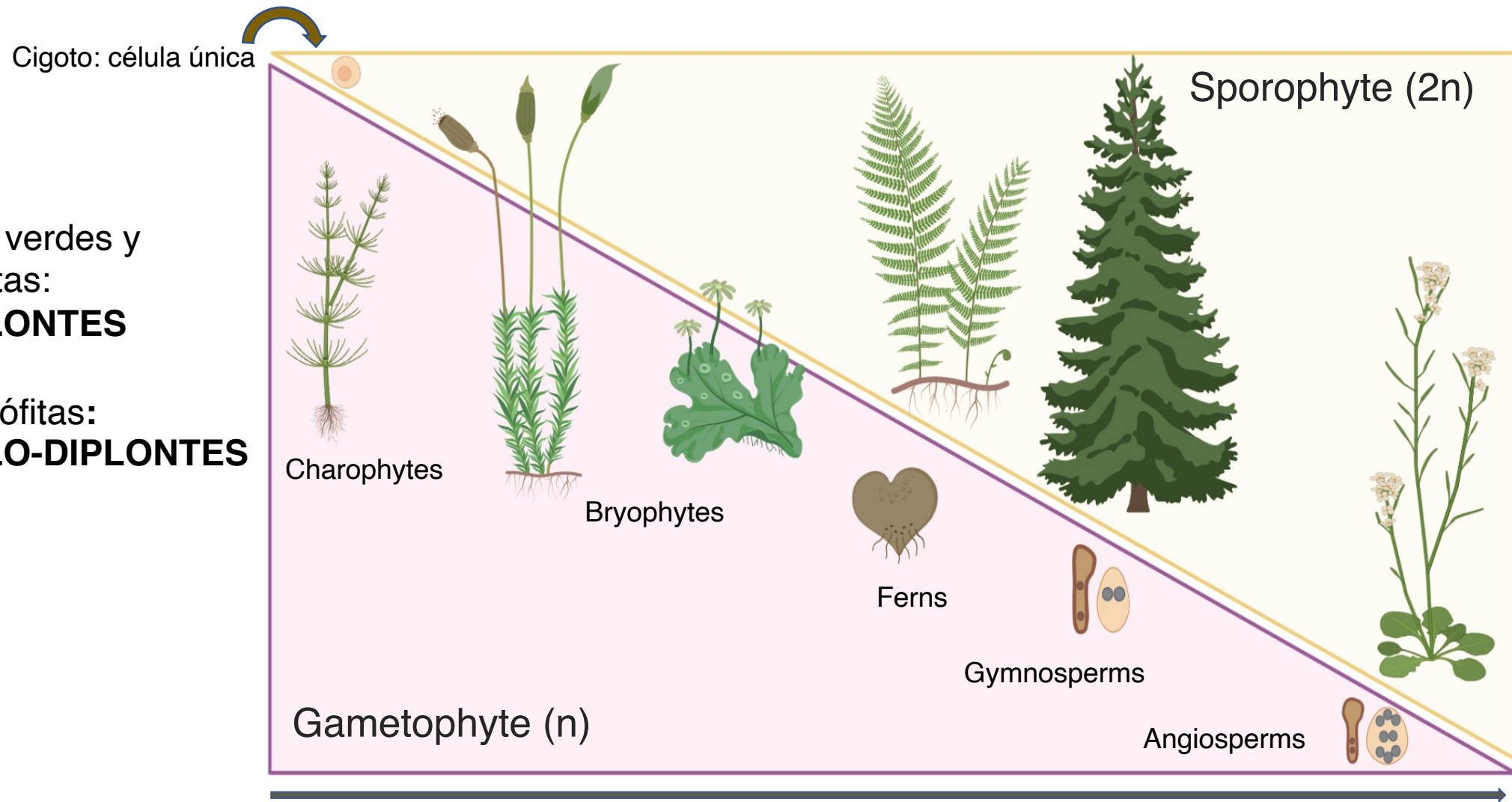
# Ensamblado progresivo del conjunto genético de Embriófitas



# Evolución de la alternancia de generaciones

Algas verdes y carofitas:  
**HAPLONTES**

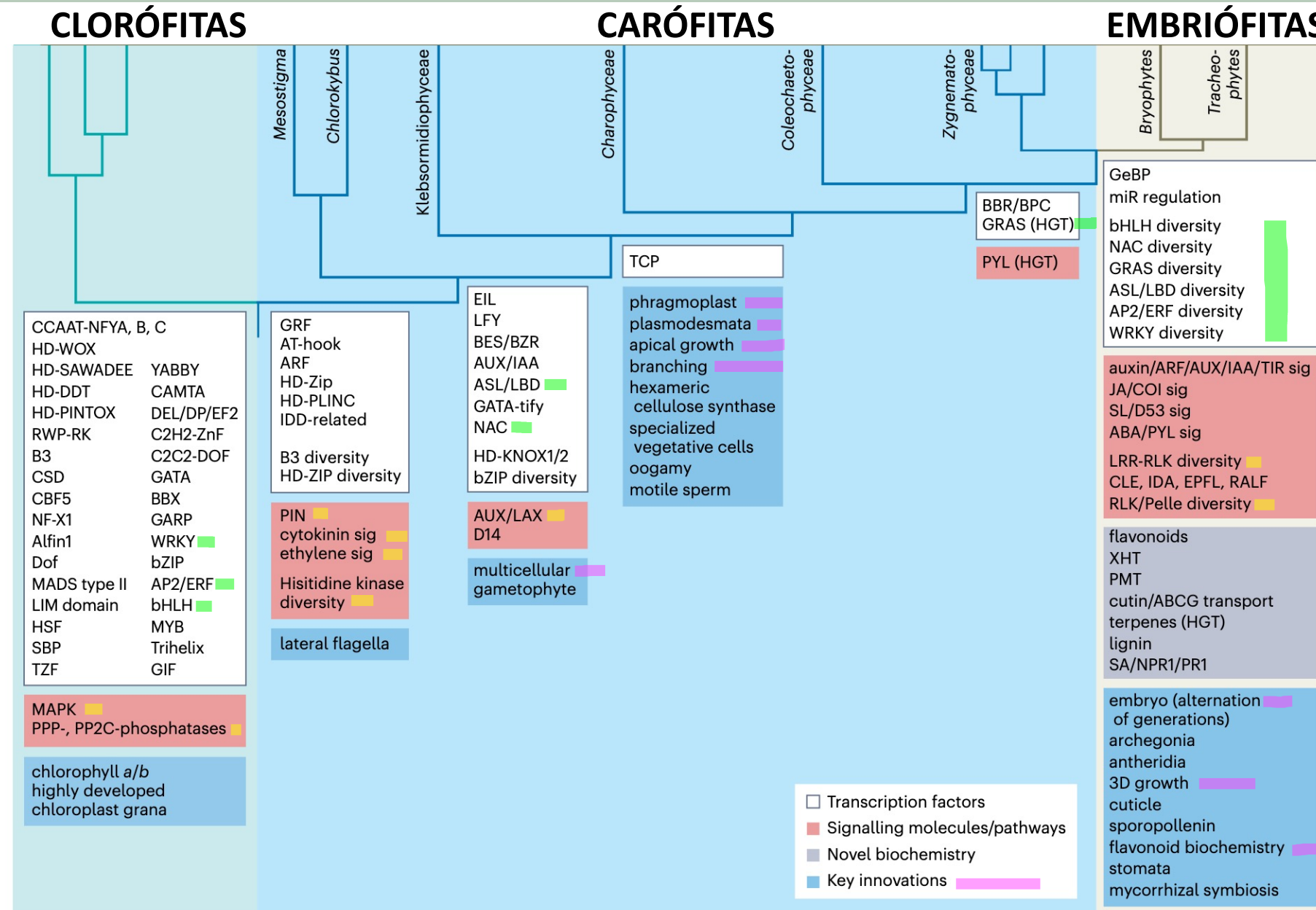
Embriófitas:  
**HAPLO-DIPLONTES**



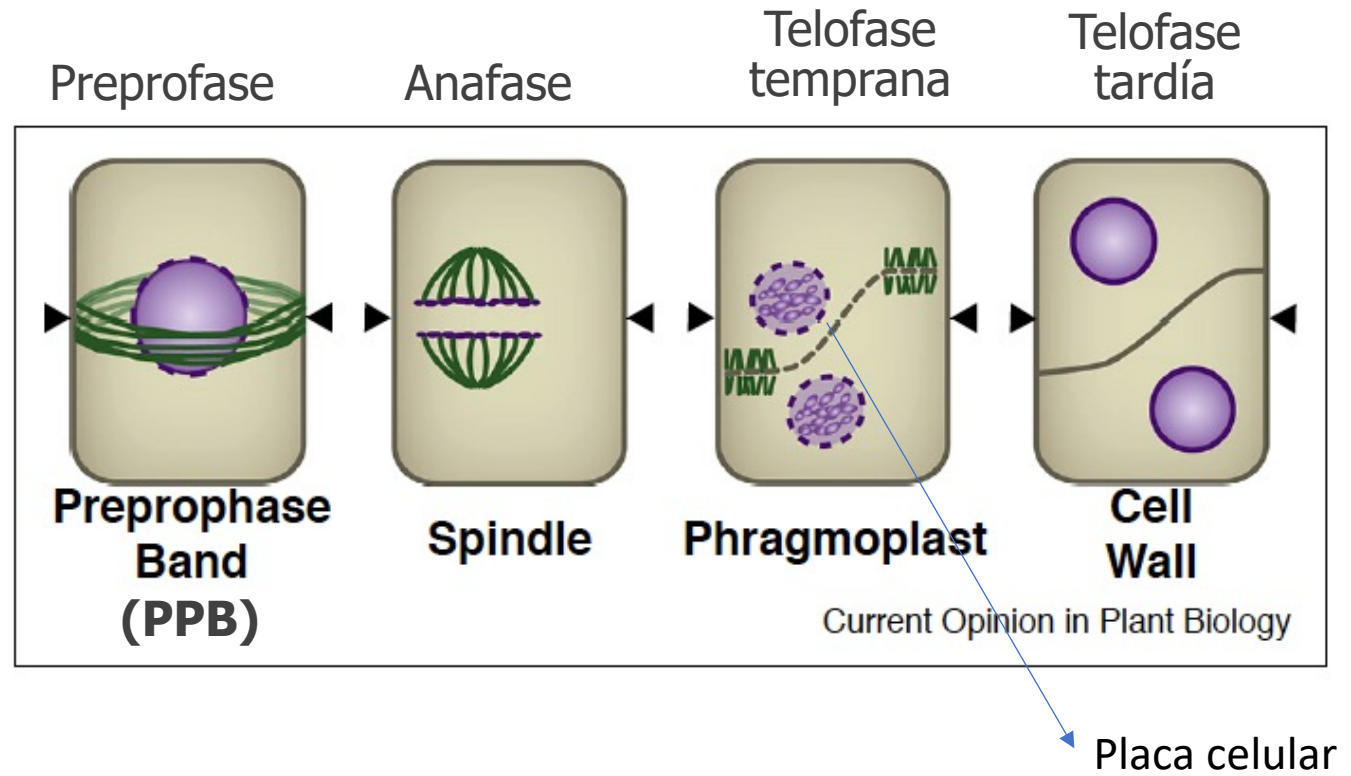
Reducción tamaño Gametofito (n)  
Aumento tamaño Esporofito (2n)

Complejidad multicelular

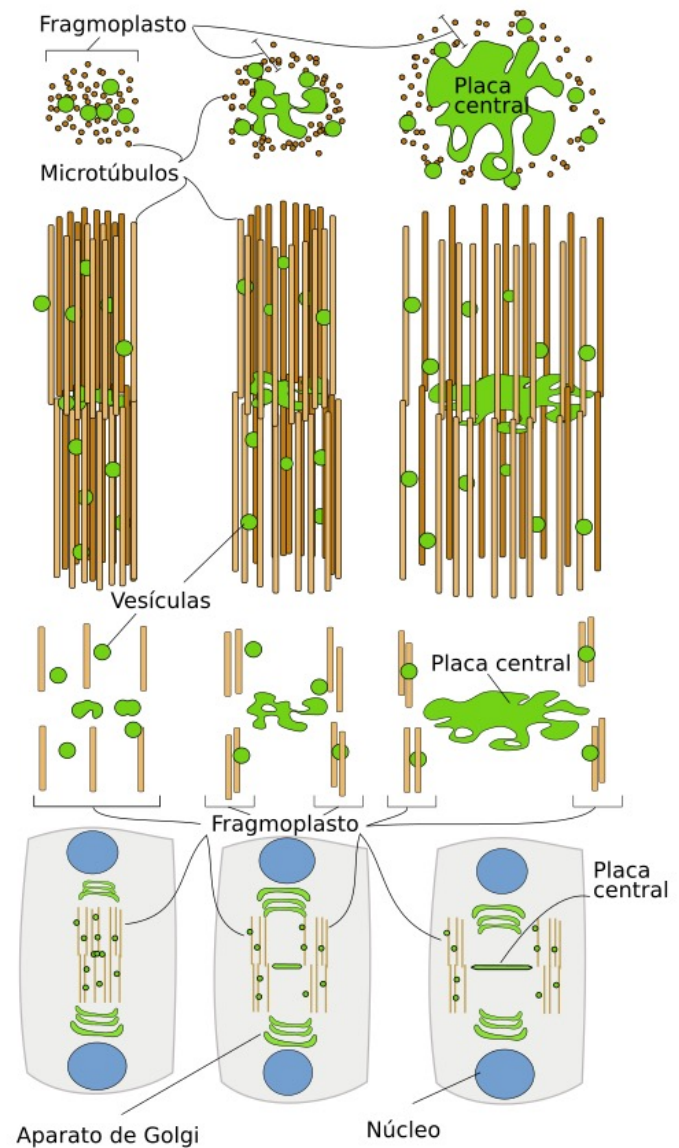
# Ensamblado progresivo del conjunto genético de Embriófitas



# División celular: PPB y Fragmoplasto surgen en algas CCZ

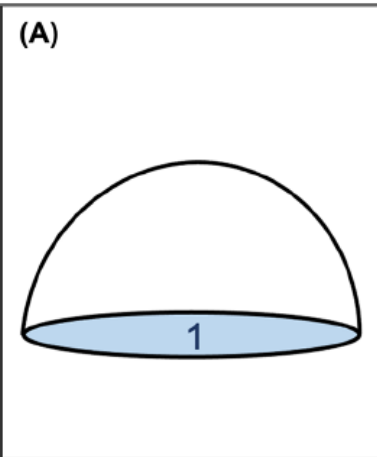


- **PPB:** Establece Plano/orientación de división celular
- **Fragmoplasto:** Andamio para placa celular en sitio definido por PPB



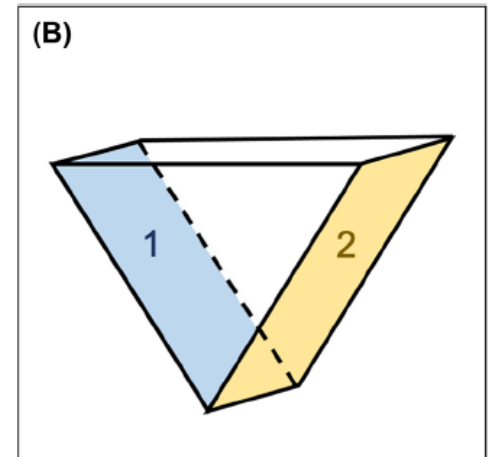
# Colonización de la superficie terrestre: transición 2D-3D

1 plano



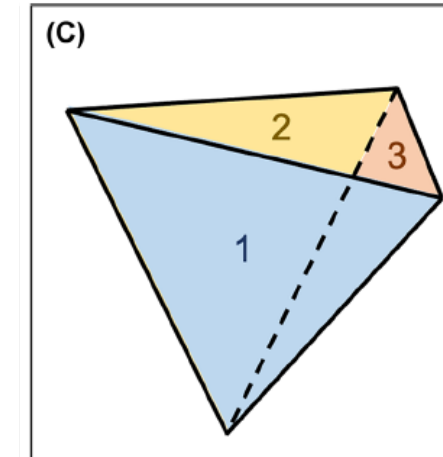
ALGAS

2 planos



ALGAS

3 planos

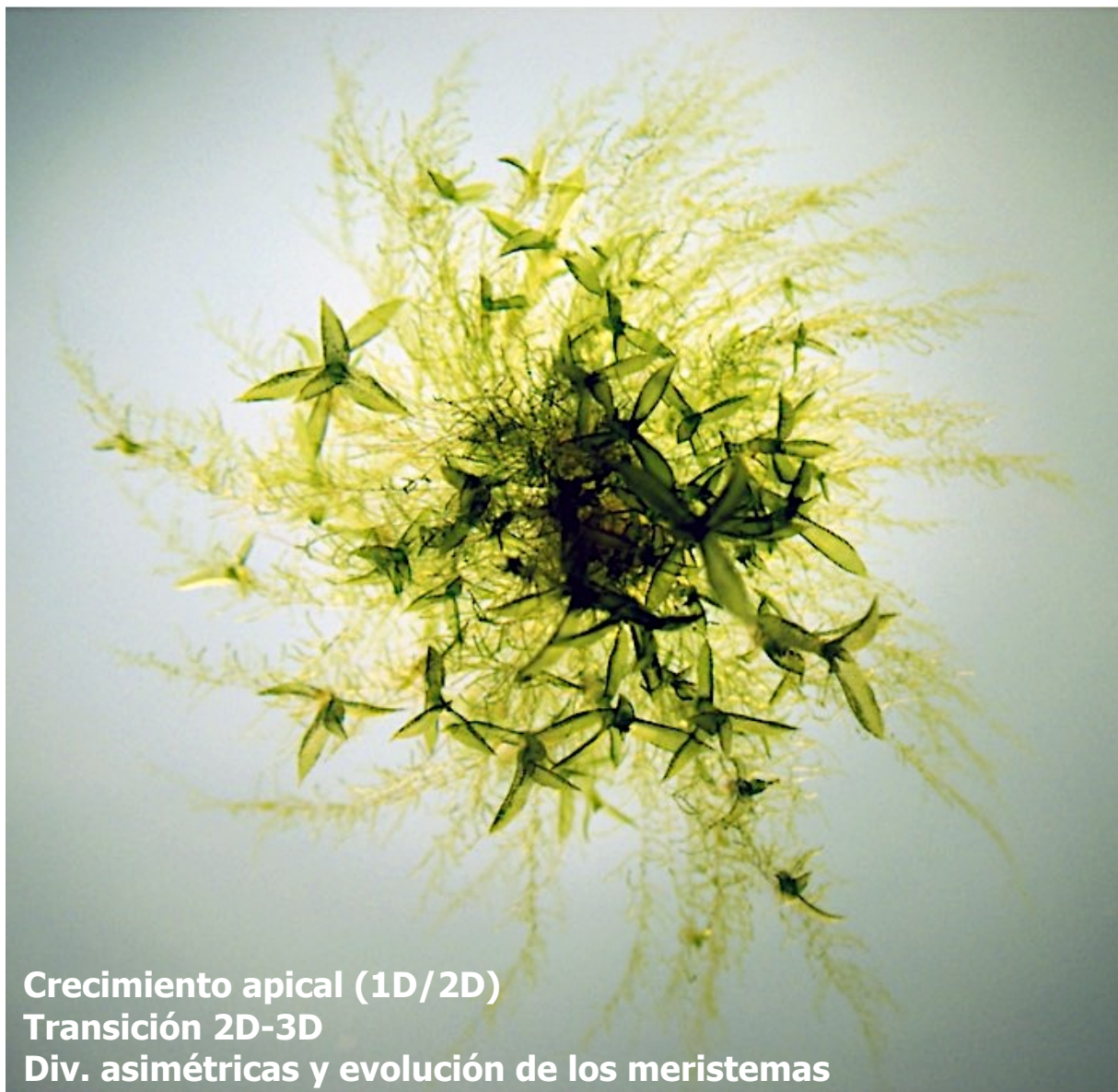


Capacidad de rotar en 3/más planos de orientación las divisiones celulares de la célula madre

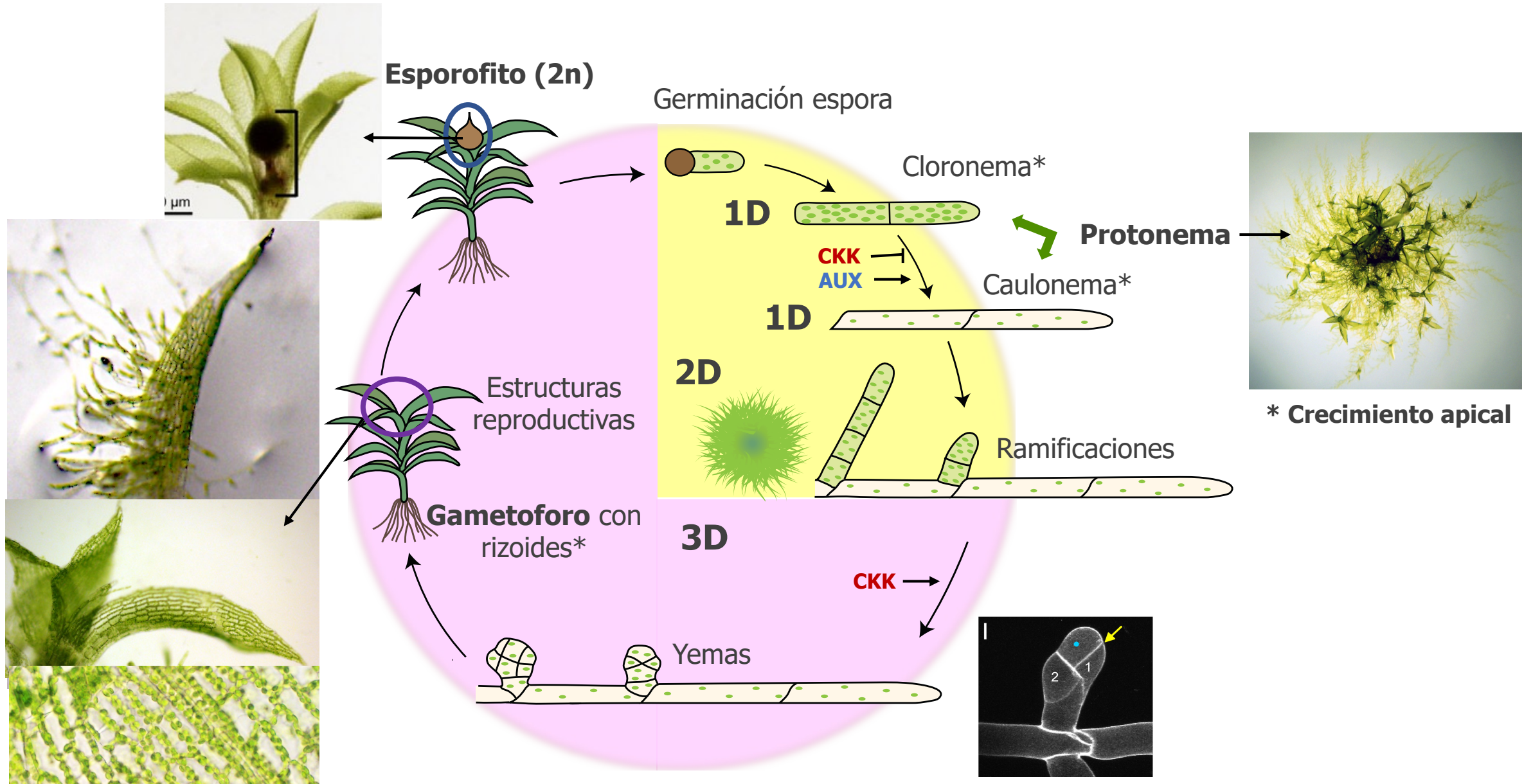


EMBRIÓFITAS

# *PHYSCOMITRIUM PATENS*: monitorear en tiempo y espacio



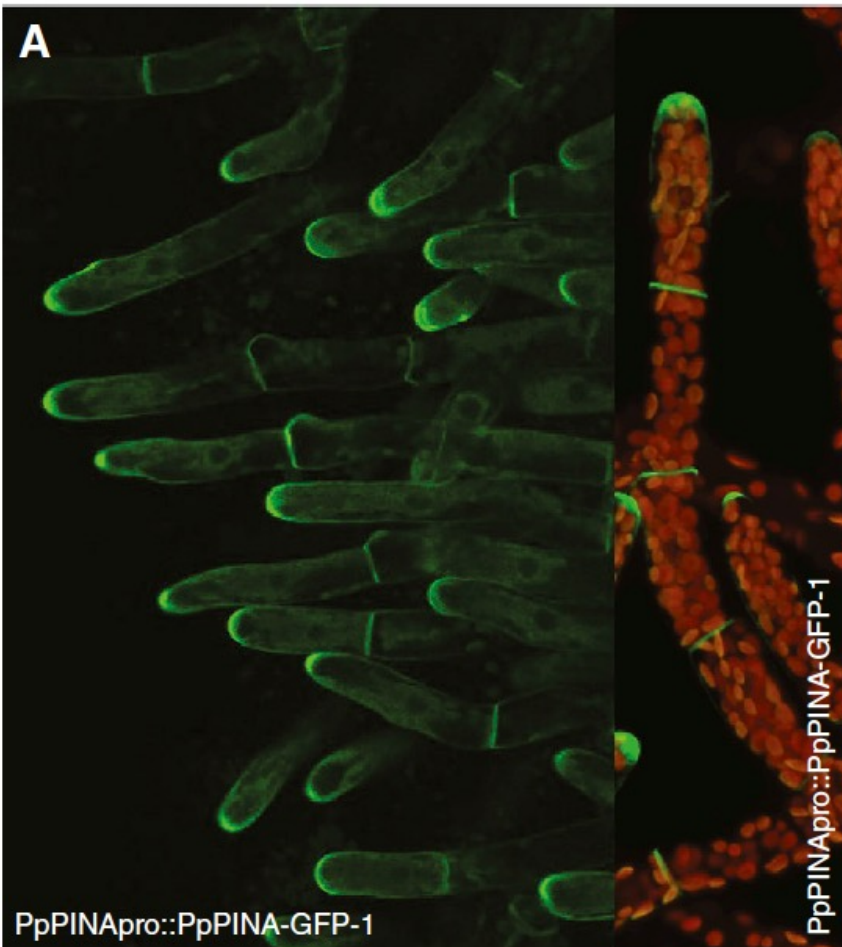
# Ciclo de vida de *Physcomitrium patens*



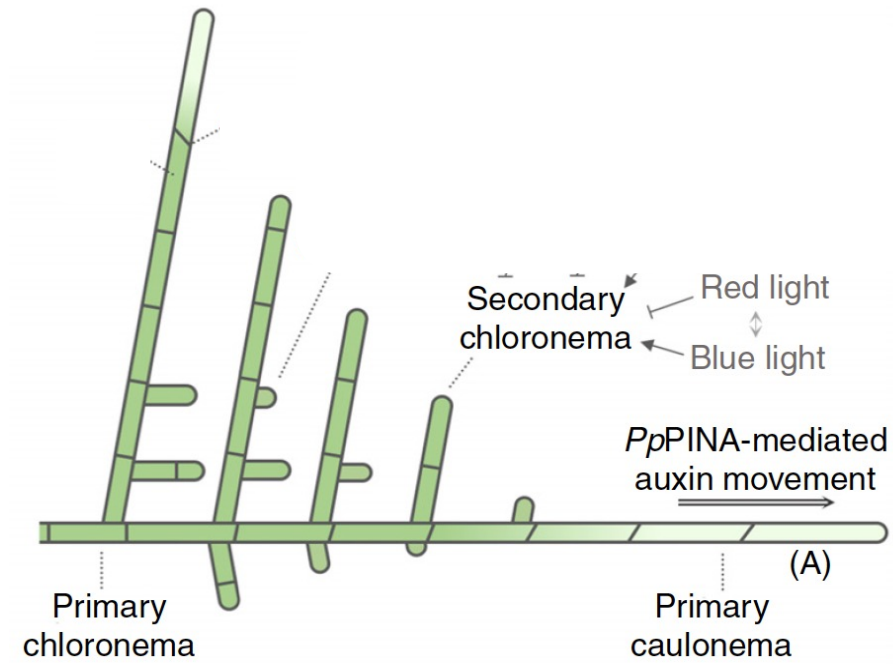
# Auxinas promueven la diferenciación cloronema-caulonema

PIN-dependent auxin transport from the base of protonemal filaments to and out of the tip regulates the cellular auxin levels in cells along the filament, which regulates the chloronema-to-caulonema transition.

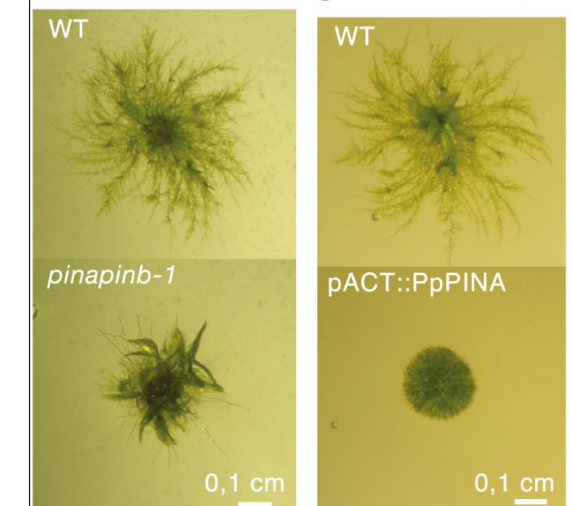
**PpPINAPro::PpPINA-GFP**



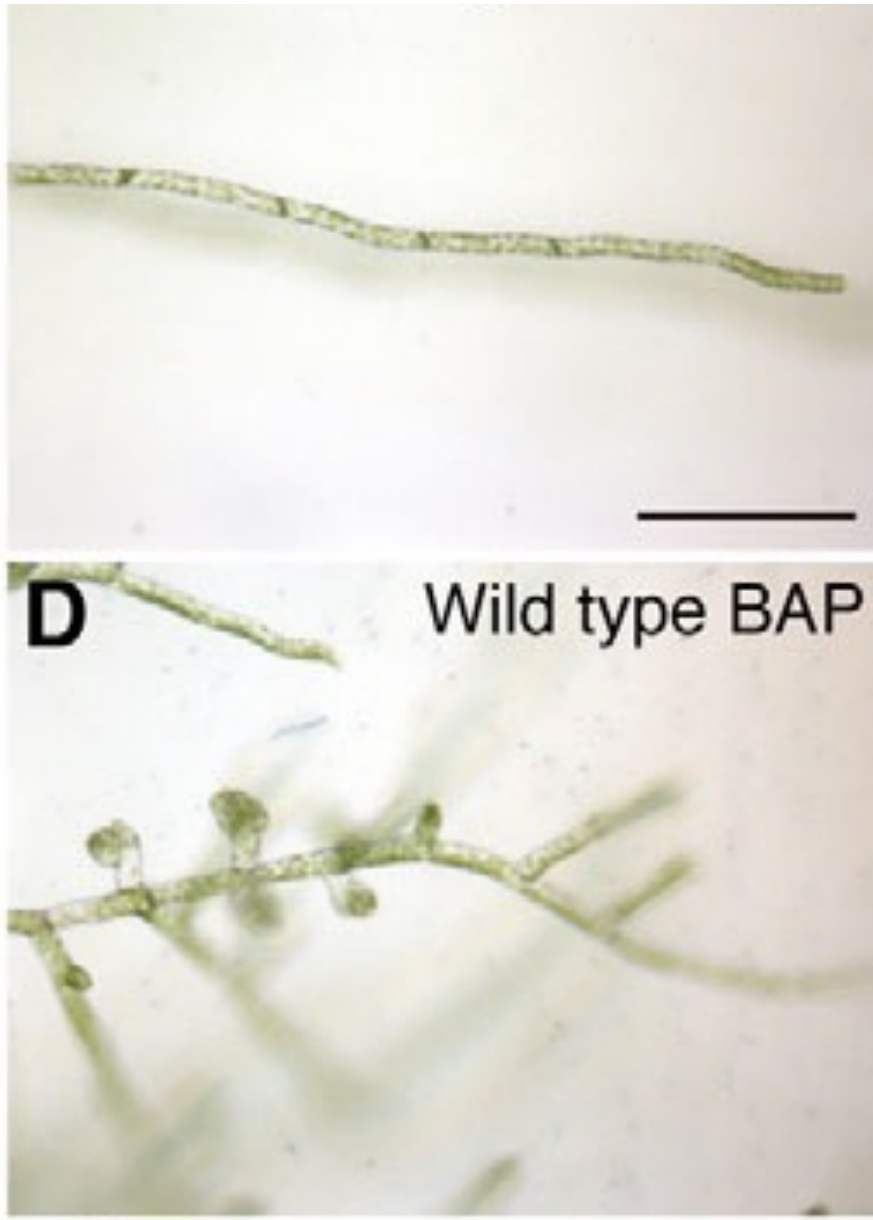
## “Apical Dominance”



***pinapinb***      **OEPINA**

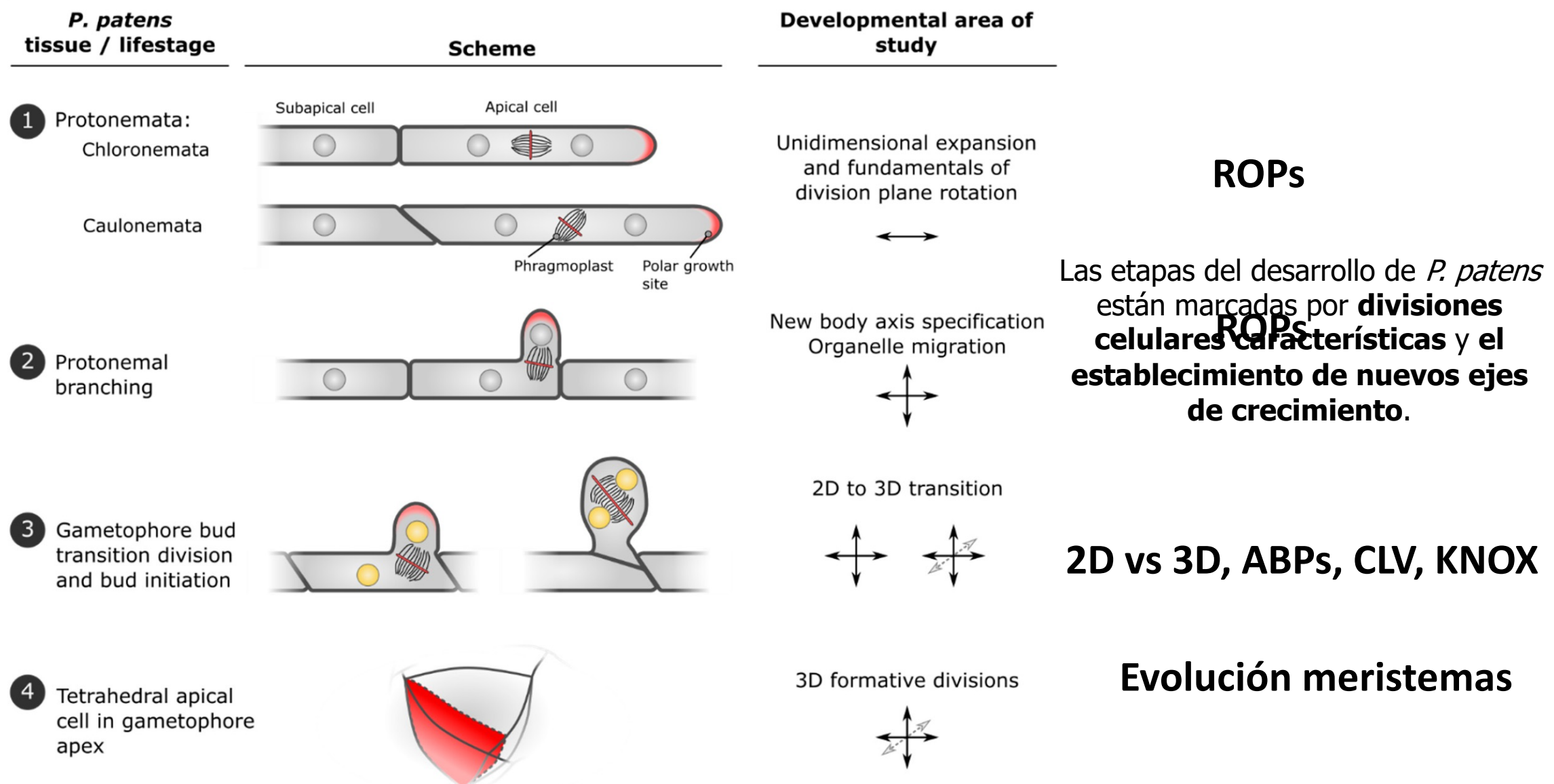


# Citocininas promueven la formacion de yemas



La aplicación exógena de **CKs** promueve la formación de células apicales de gametóforo a partir de protonema, pero tambien inhibie el pasaje de cloronema a caulonema.

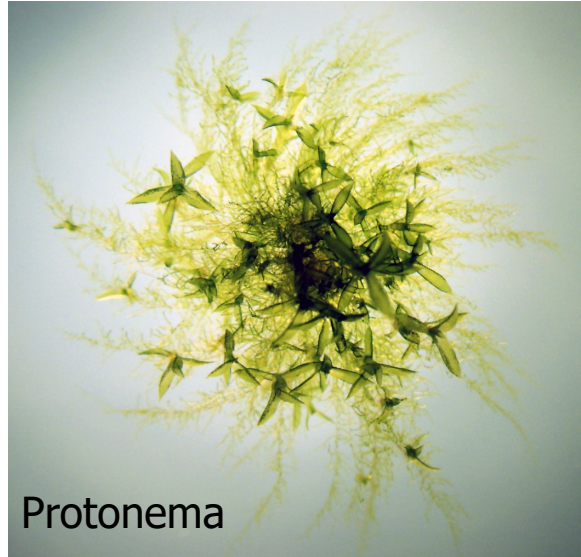
# Modelo para estudios 1D, 2D, 3D y reprogramación celular



# Modelo para estudios 1D: crecimiento polar

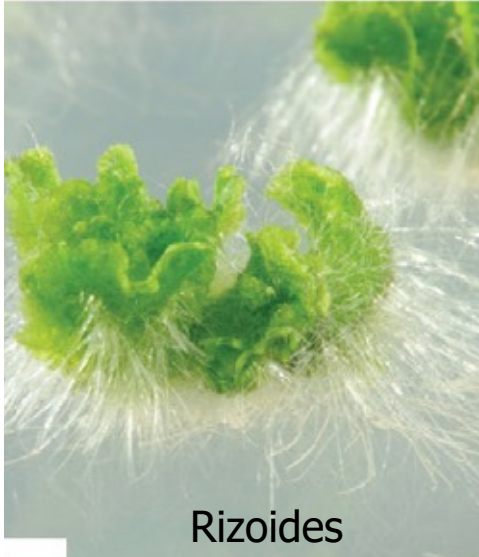
## BRIÓFITAS

*Physcomitrium patens*



Protonema

*Marchantia polymorpha*

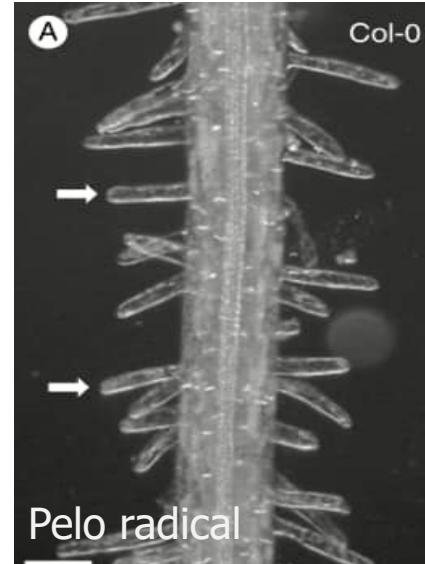


Rizoides

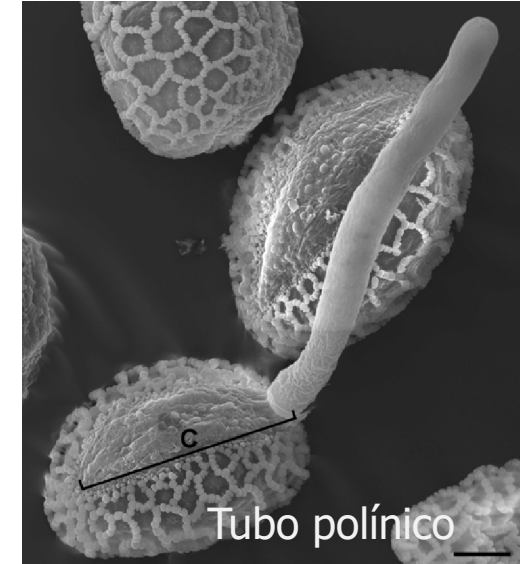
Formación del cuerpo de la planta

## TRAQUEÓFITAS

*Arabidopsis thaliana*



Pelo radical

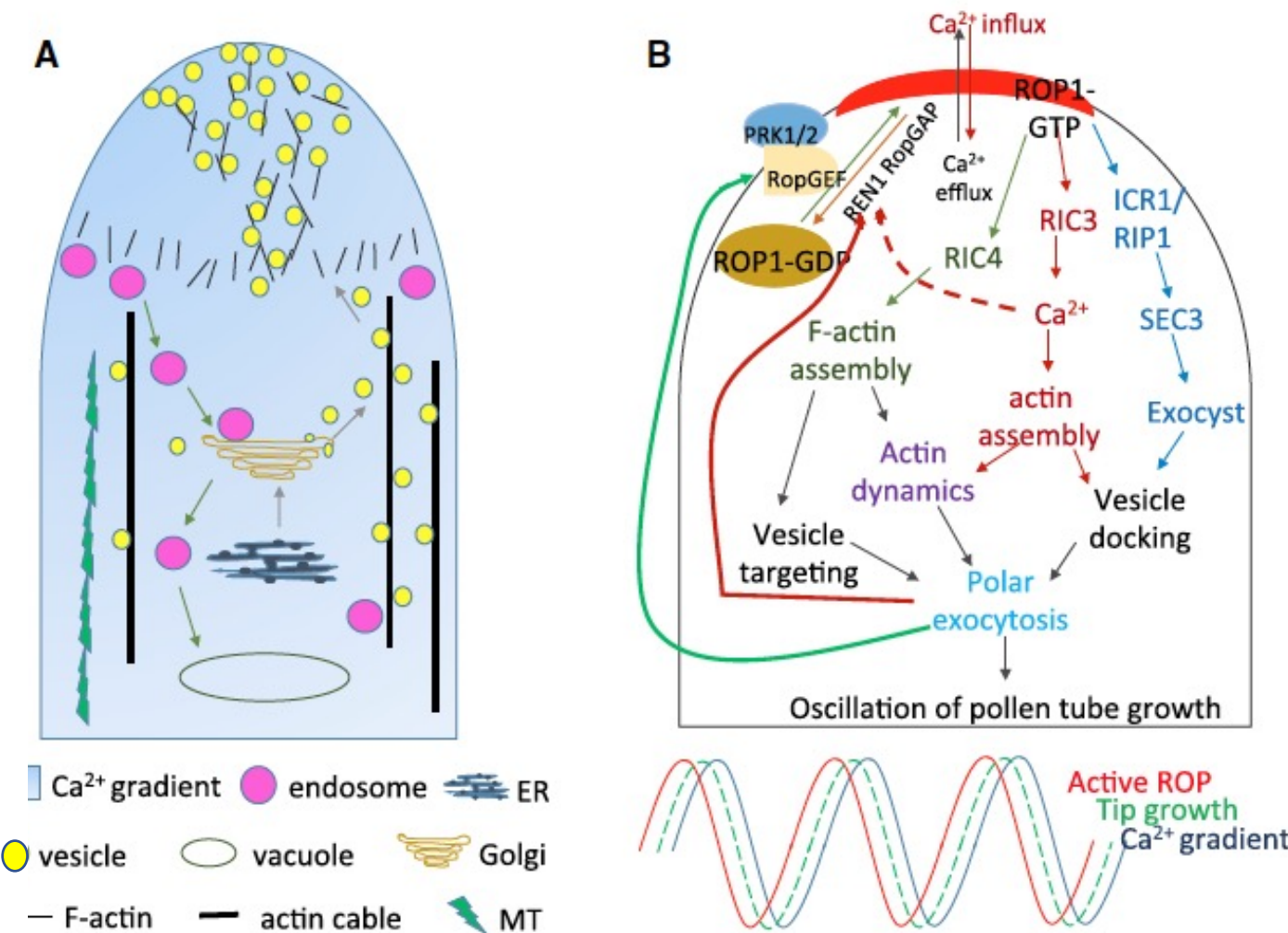


Tubo polínico

Absorción de nutrientes  
Interacción con microorganismos benéficos

Fertilización

# Modelo para estudios 1D: crecimiento polar



**ROPs** polarize tip growth by promoting:

- calcium signaling
- Cytoskeleton remodeling
- vesicle fusion
- exocytosis

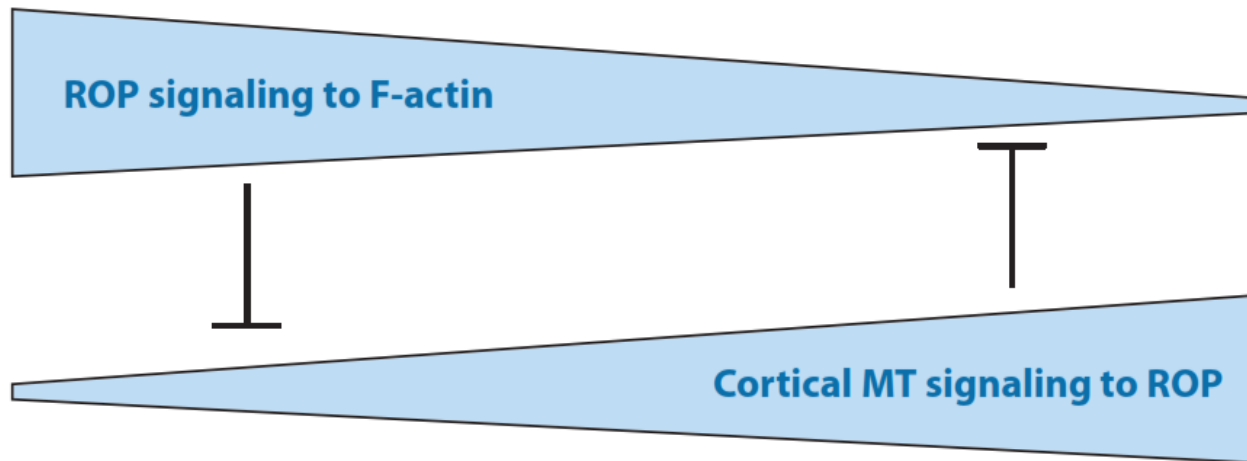
# Crecimiento 1D-2D (protonema) en *P. patens*

## Tip growth

## Diffuse growth

Complex  
(intercalary, lobed)

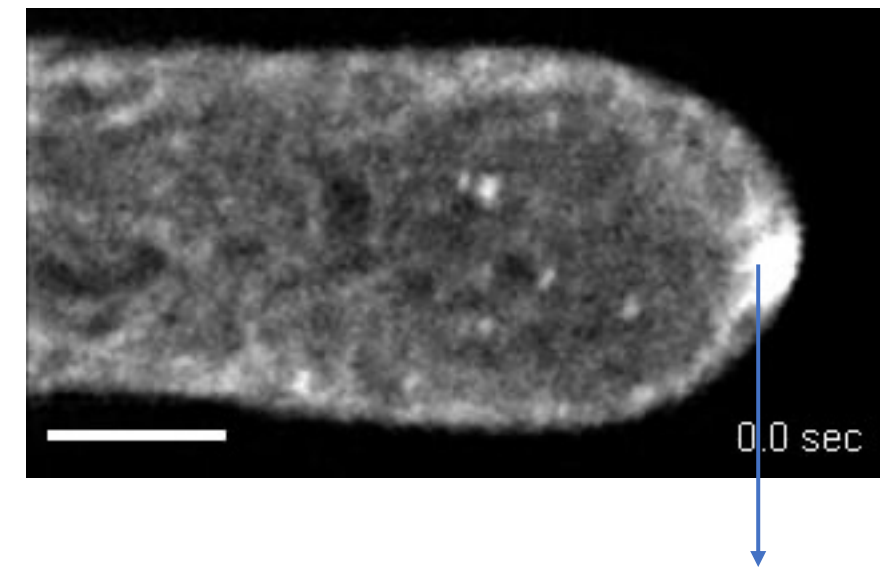
Simple  
(preferentially elongating)



**Figure 5**

A schematic model for a unifying concept of the mechanisms underlying the control of cell morphogenesis through tip growth or polarized diffuse growth.

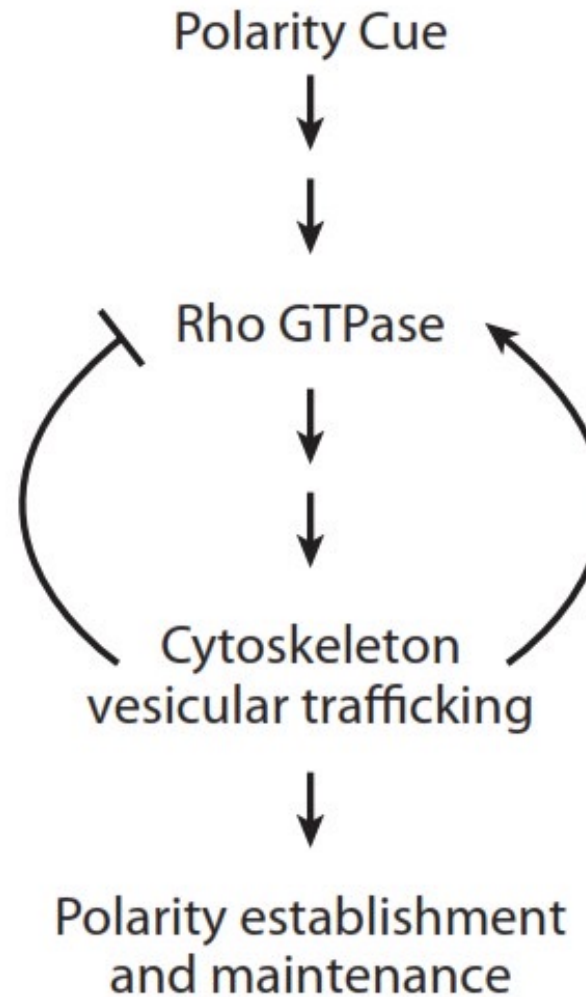
*Time lapse spinning disc LSCM of Lifeact-mEGFP in a moss chloronema cell. Vidali, et al. 2009*



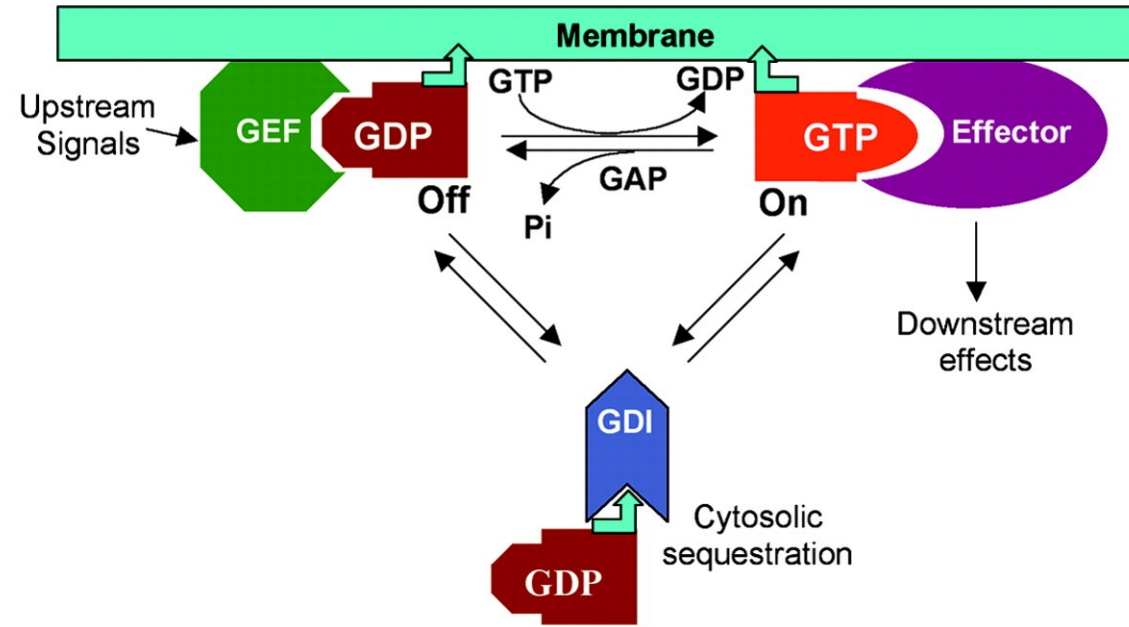
**Apical F-actin network**  
**Focal point of F-actin**

Lifeact is a short actin-binding peptide that is used to visualize filamentous actin (F-actin)

# ROPs: reguladores maestros de la polaridad celular

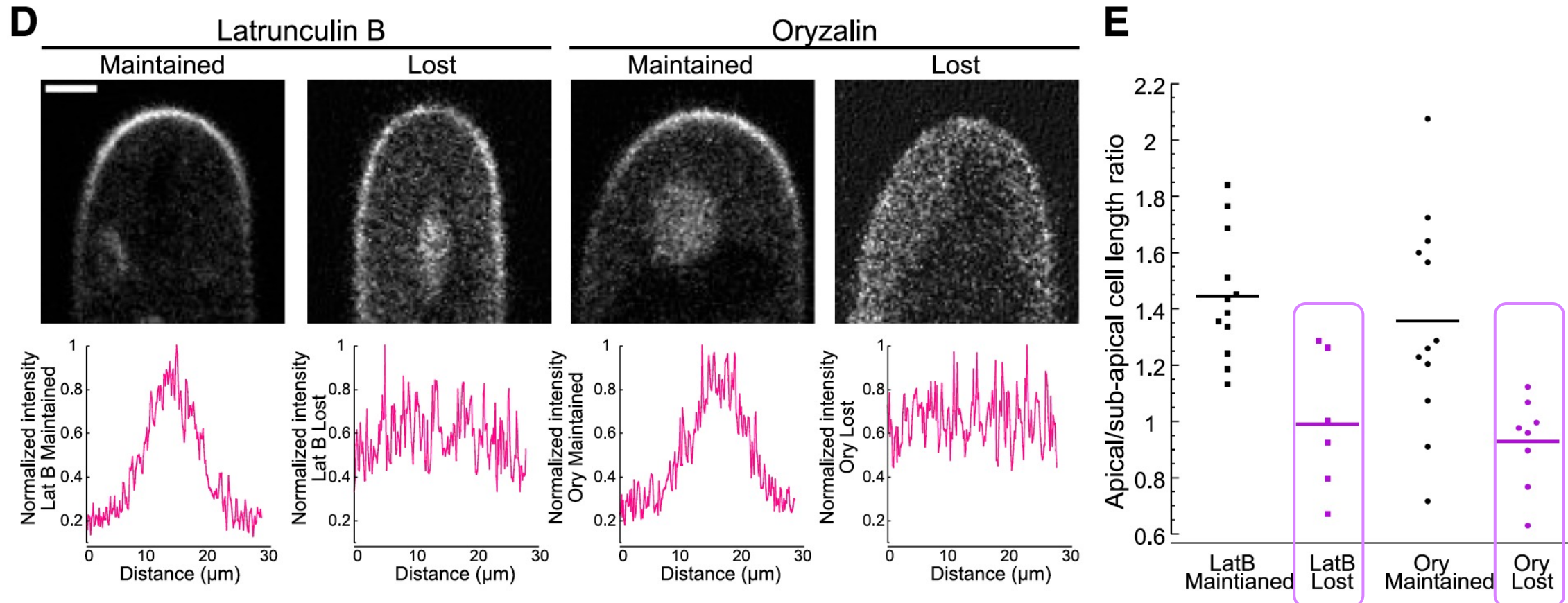


## Rho of Plants (ROPs): Positional Cue GTPasas pequeñas



•Most Rho GTPases cycle between an active GTP-bound and an inactive GDP-bound form, a process that is regulated by guanine nucleotide exchange factors (GEFs), GTPase-activating proteins (GAPs) and guanine nucleotide dissociation inhibitors (GDIs). In their GTP-bound form, they interact with a diverse range of different targets to induce cellular responses.

# El citoesqueleto afecta la polaridad de ROP, ciclo celular-dependiente



Cheng et al. (2020) The Plant Cell

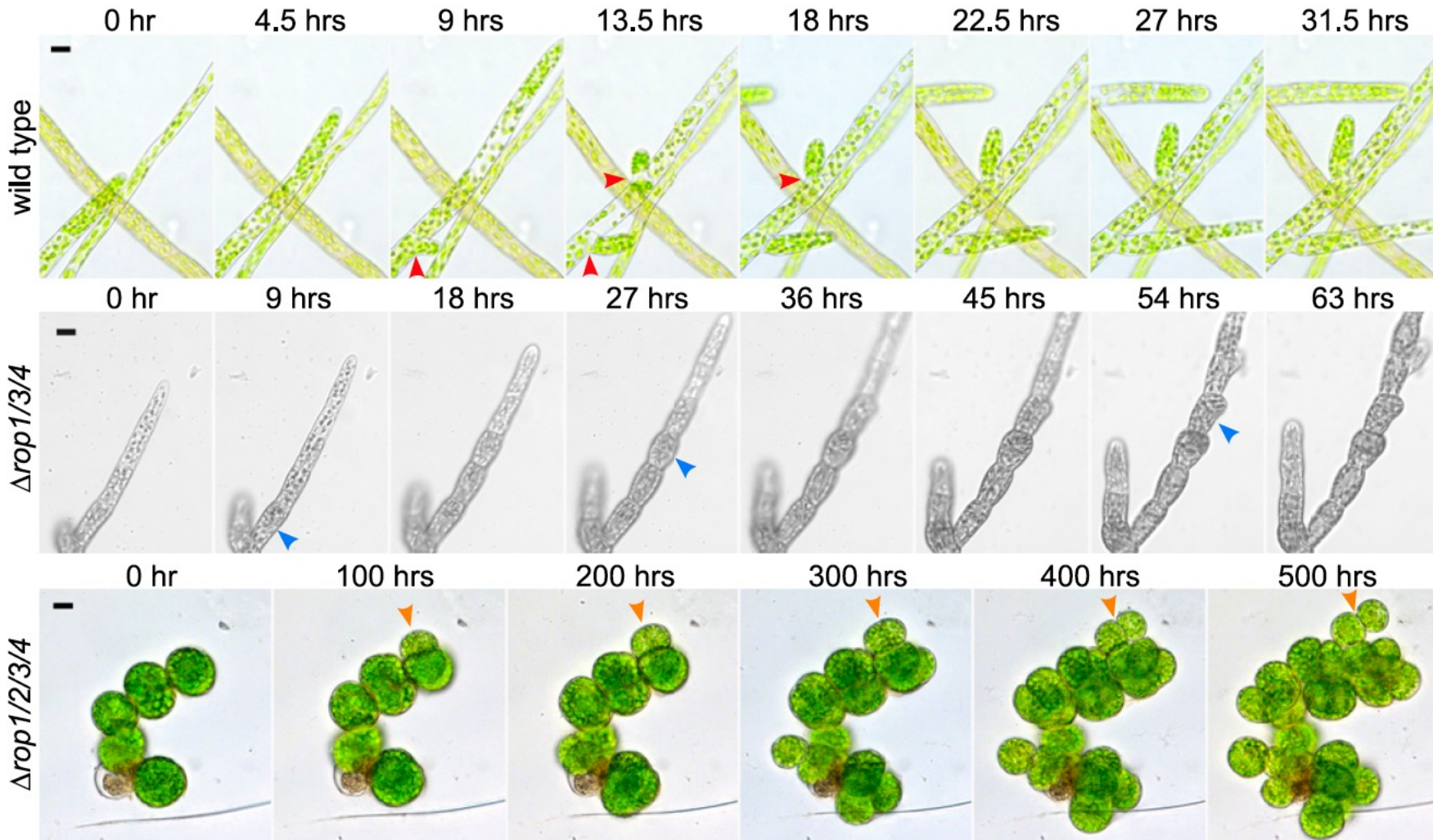
La actina y los microtúbulos poseen un rol en el mantenimiento de la localización de ROP al inicio del ciclo celular.

# ROPs son esenciales para el crecimiento polar en *P. patens*

11 genes en *A. thaliana*  
4 genes en *P. patens*

Fenotipo intermedio

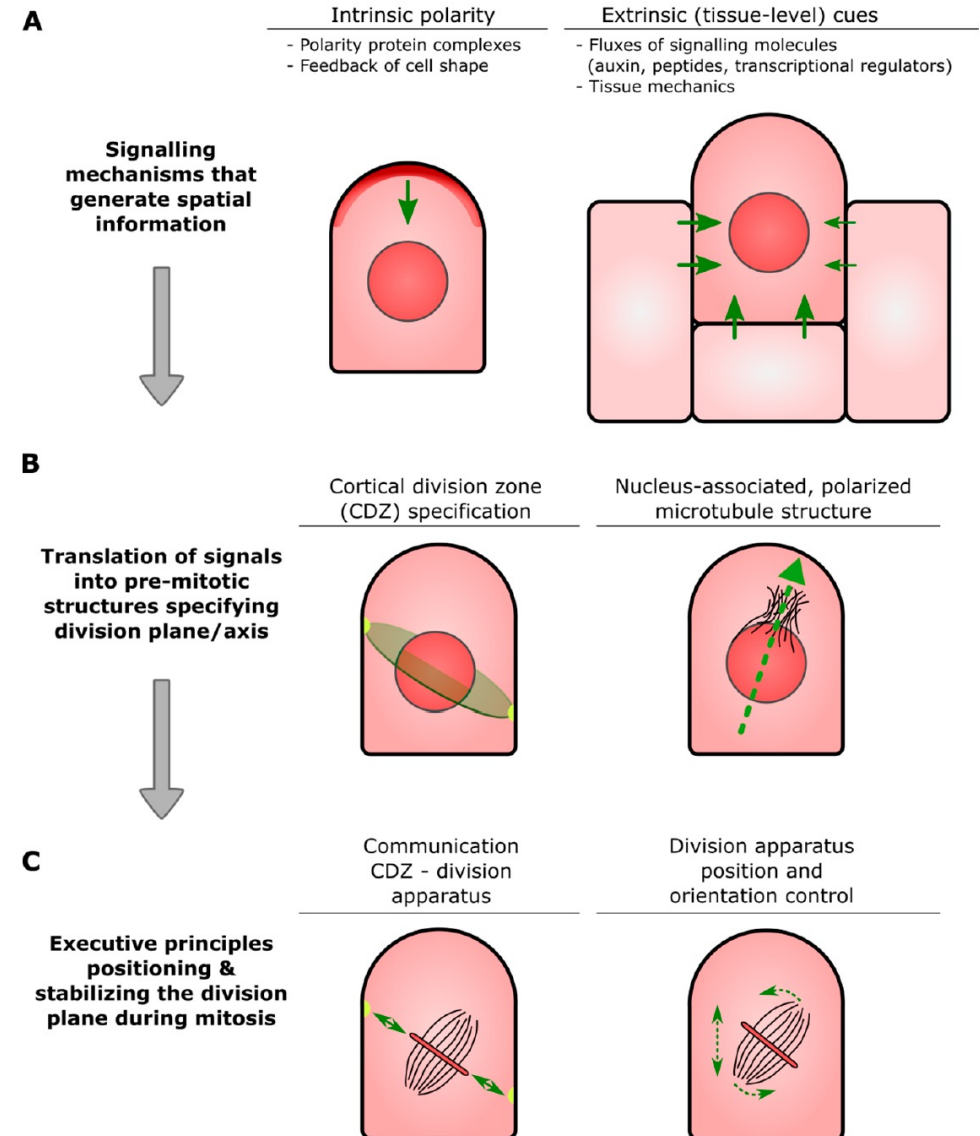
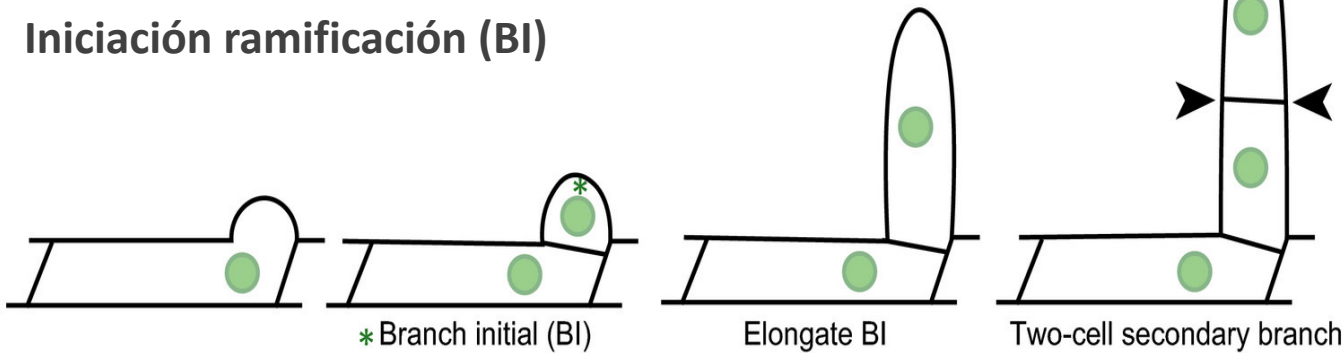
Células esféricas  
Expansión isotrópica  
(No hay diferenciación  
caulo, gametoforos)



# Factores que controlan las divisiones asimétricas

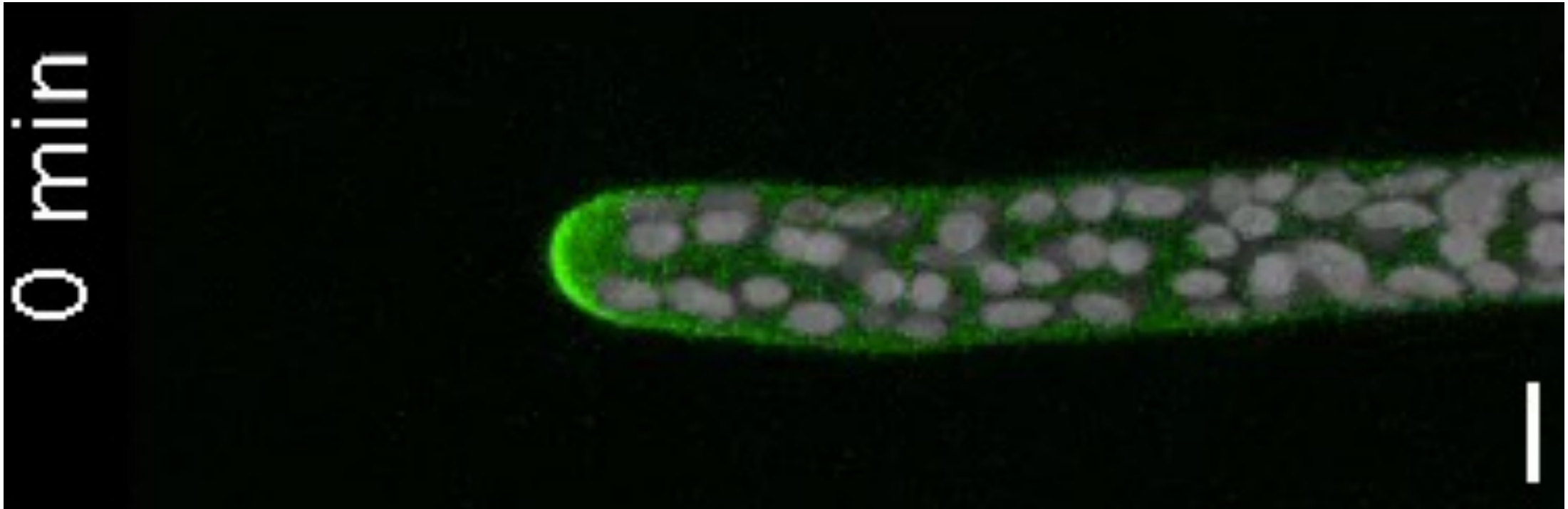
¿Participa ROP como señal posicional para la formación de una ramificación lateral inicial?

Iniciación ramificación (BI)



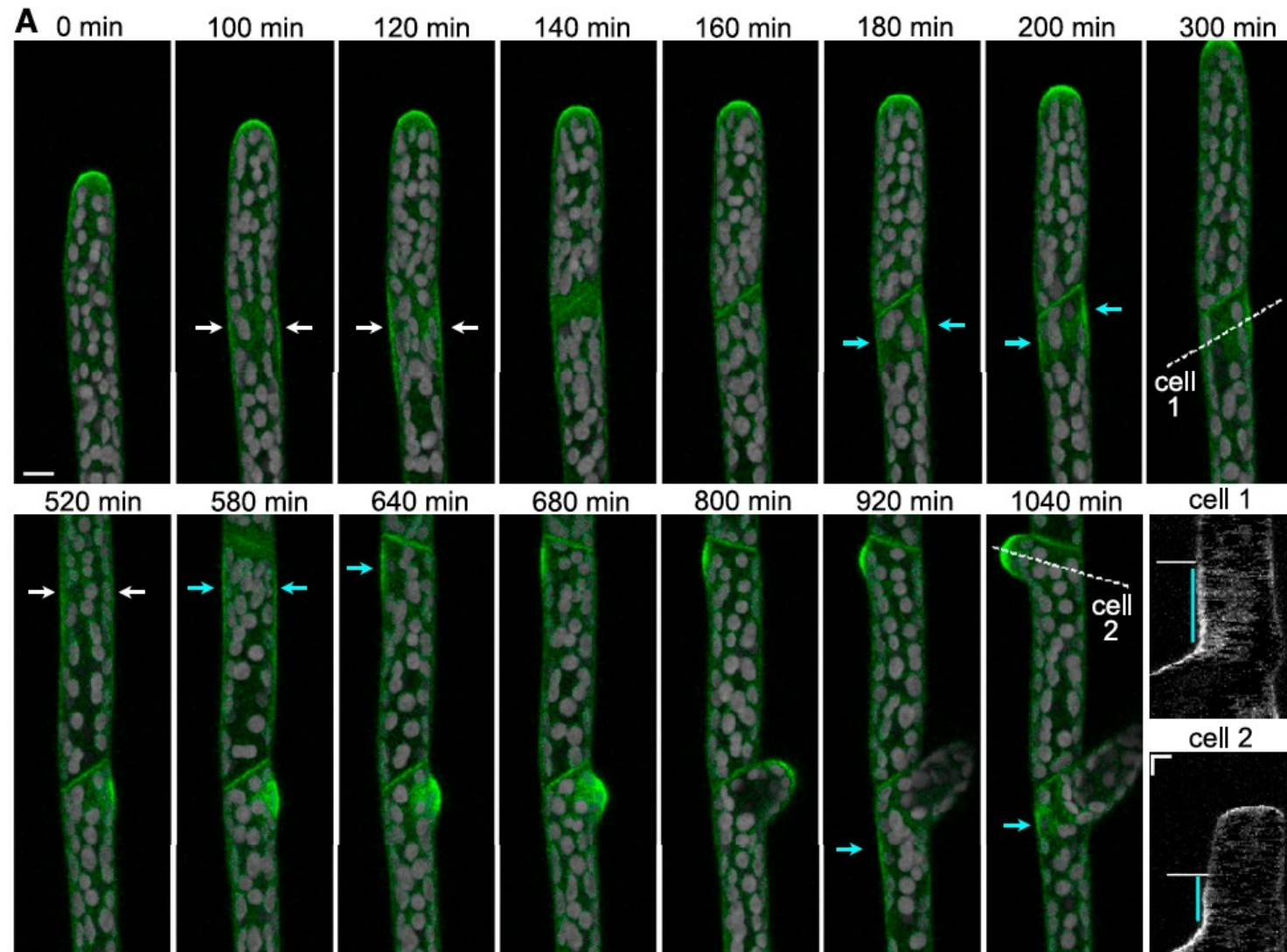
# ROP en el establecimiento de la polaridad celular en ramificación

**ROP4-NG (ROP-NeonGreen) localizes to the future branch site hours before a branch emerges.**



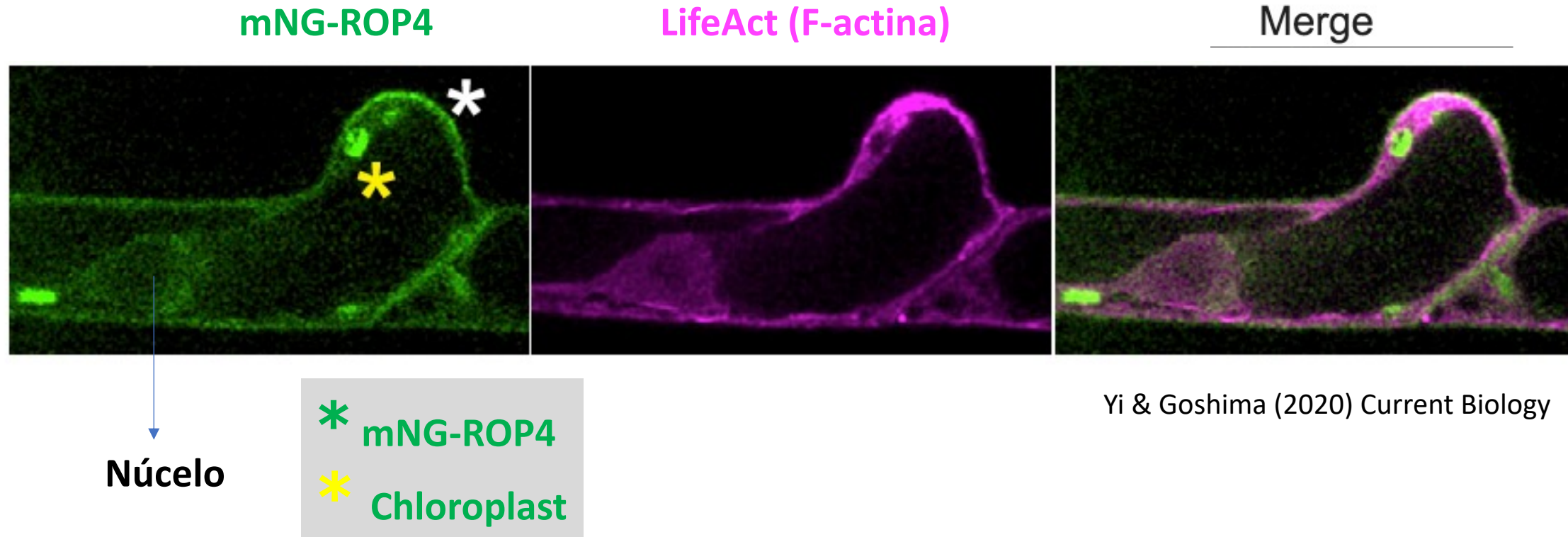
Cheng et al. (2020) The Plant Cell

# ROP en el establecimiento de la polaridad y división celular

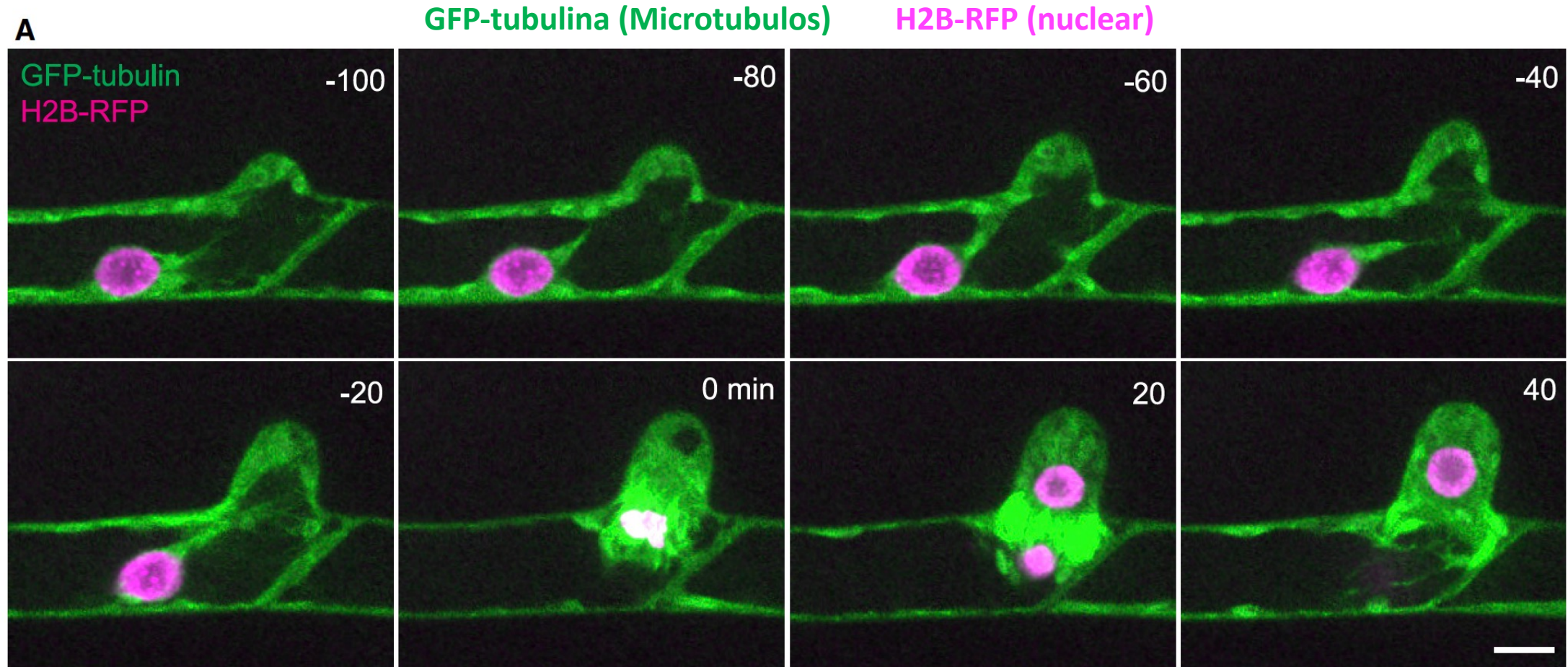


- 1- ROP localizes to **the apical plasma membrane** of tip-growing protonemata.
- 2- ROP accumulates at the **cell cortex in the middle of the apical cell** before it is observed in the developing cell plate.
- 3- ROP localizes to the **future branch site hours before a branch emerges**.

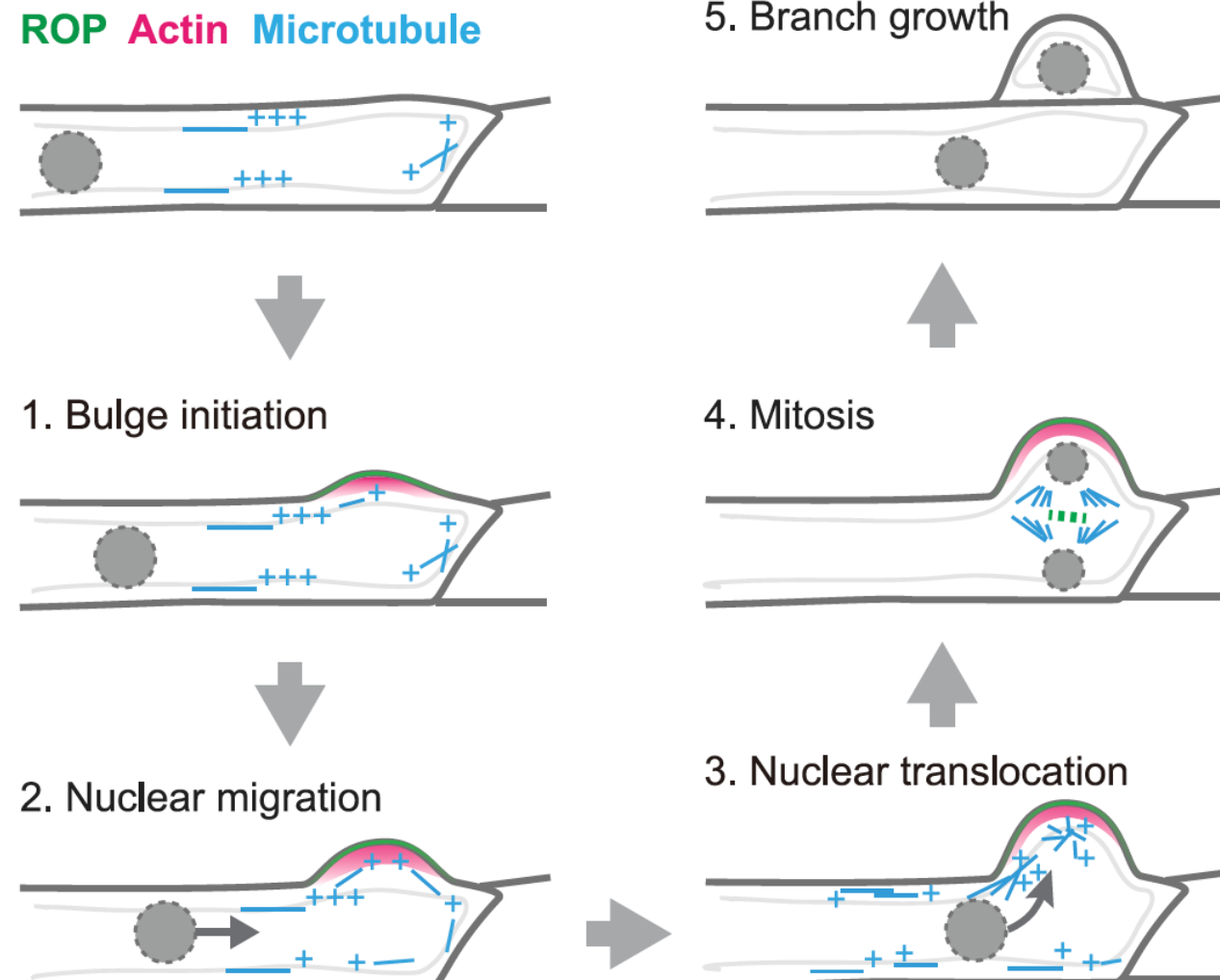
# Las ROP GTPasas y la actina inicián la formación de “bulges” polarizados en las células previo a su ramificación



# Ramificación (Branch): migración nuclear, MT y establecimiento nuevo eje división celular

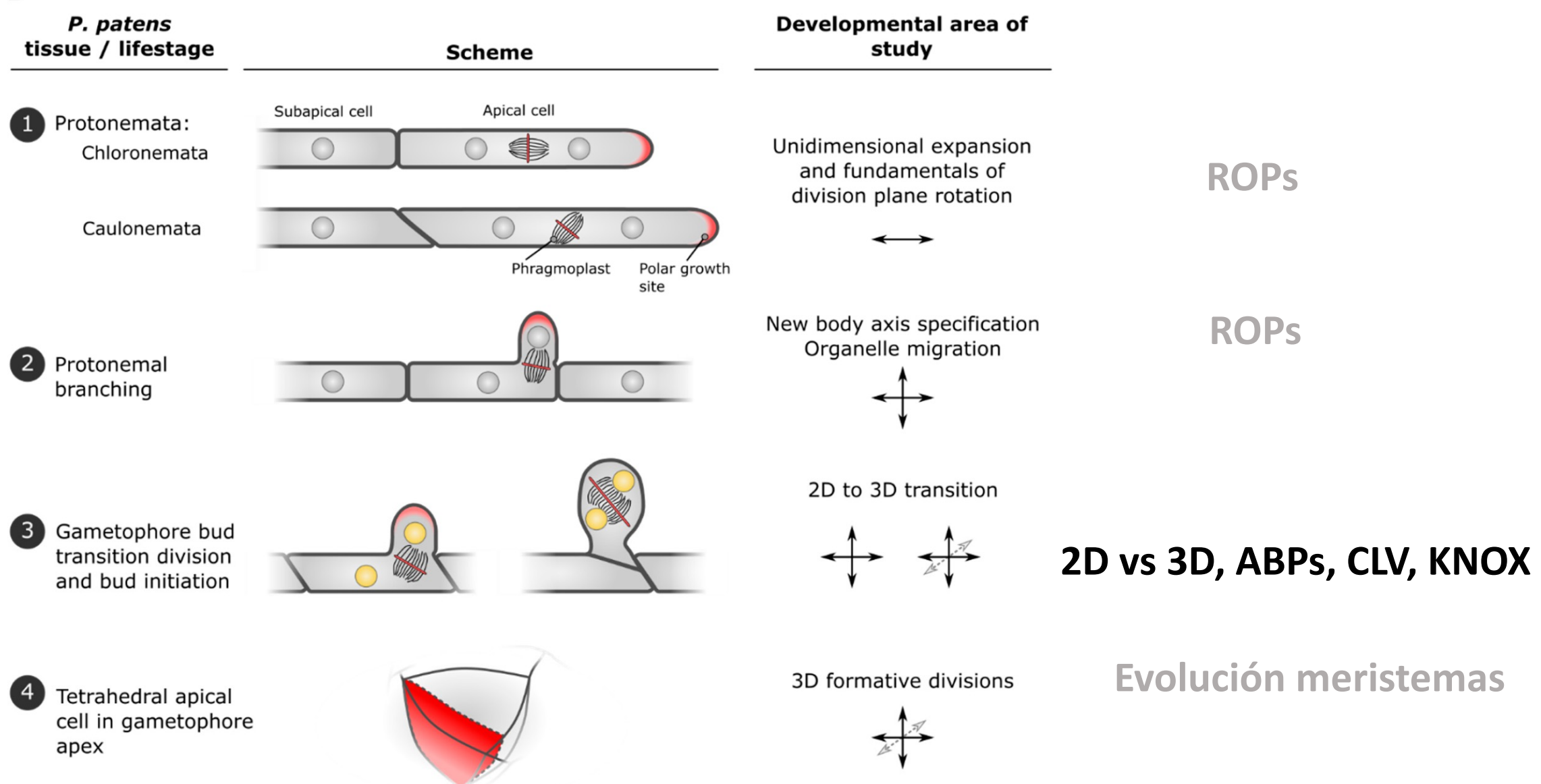


# Branching: migración nuclear, MT y establecimiento nuev eje división



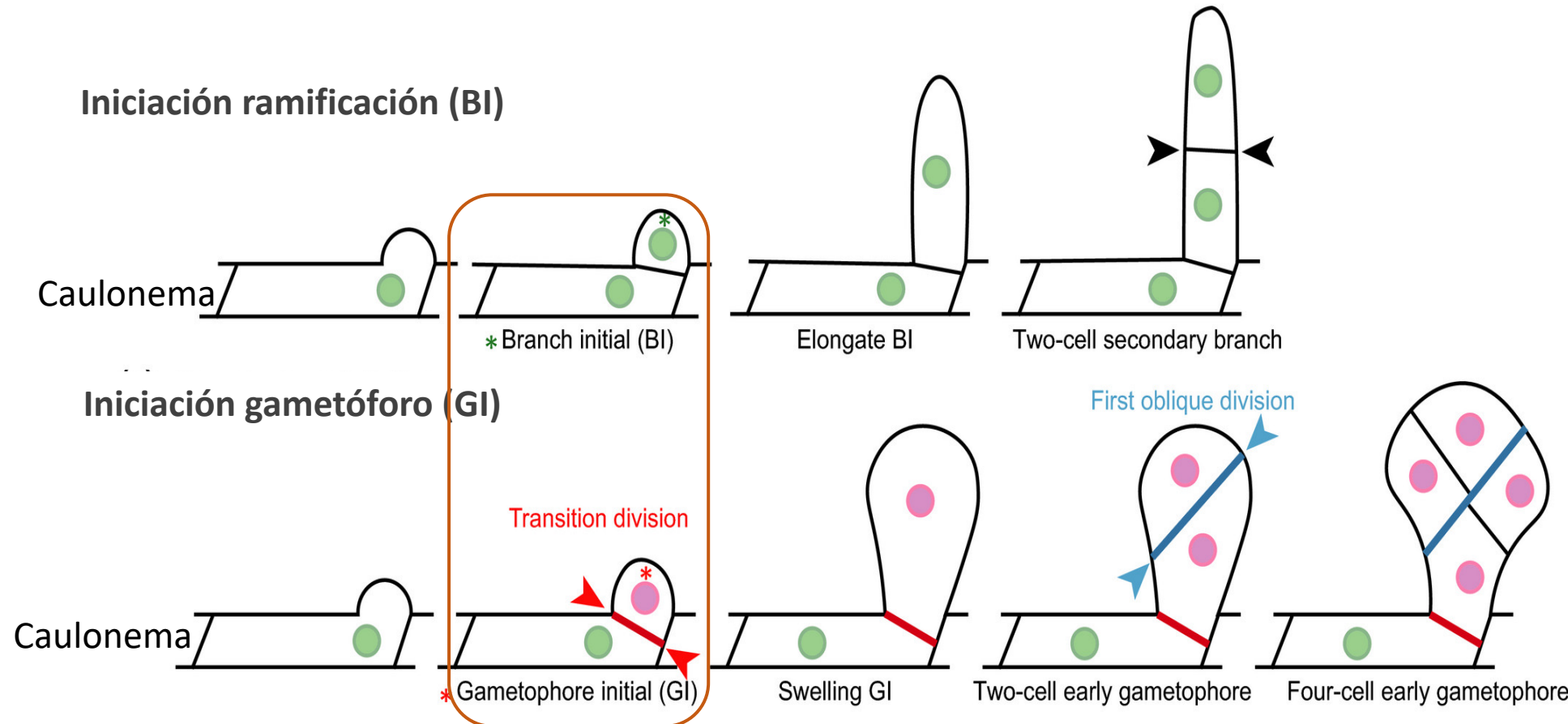
- 1- Las **ROP GTPasas** y la **actina** inician la formación de “bulges” (abultamientos) polarizados en las células previo a su ramificación
- 2- lo que a su vez dirige la migración nuclear dependiente de los microtúbulos y
- 3- la posterior división celular asimétrica
- 4- Formacion de una ramificación

# Modelo para estudios 1D, 2D, 3D y reprogramación celular

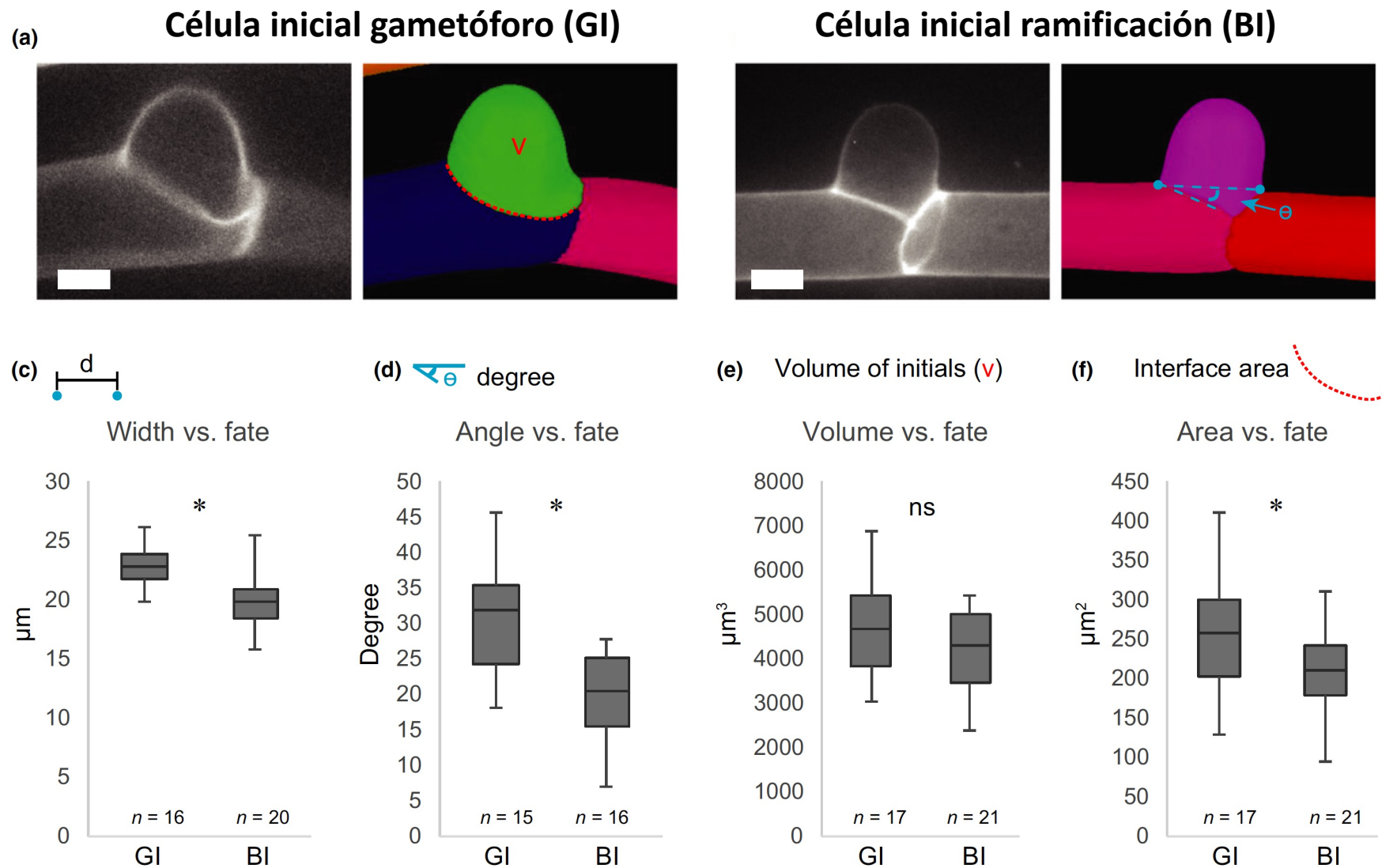


# Crecimiento 2D (protonema) o 3D (yemas) en *P. patens*

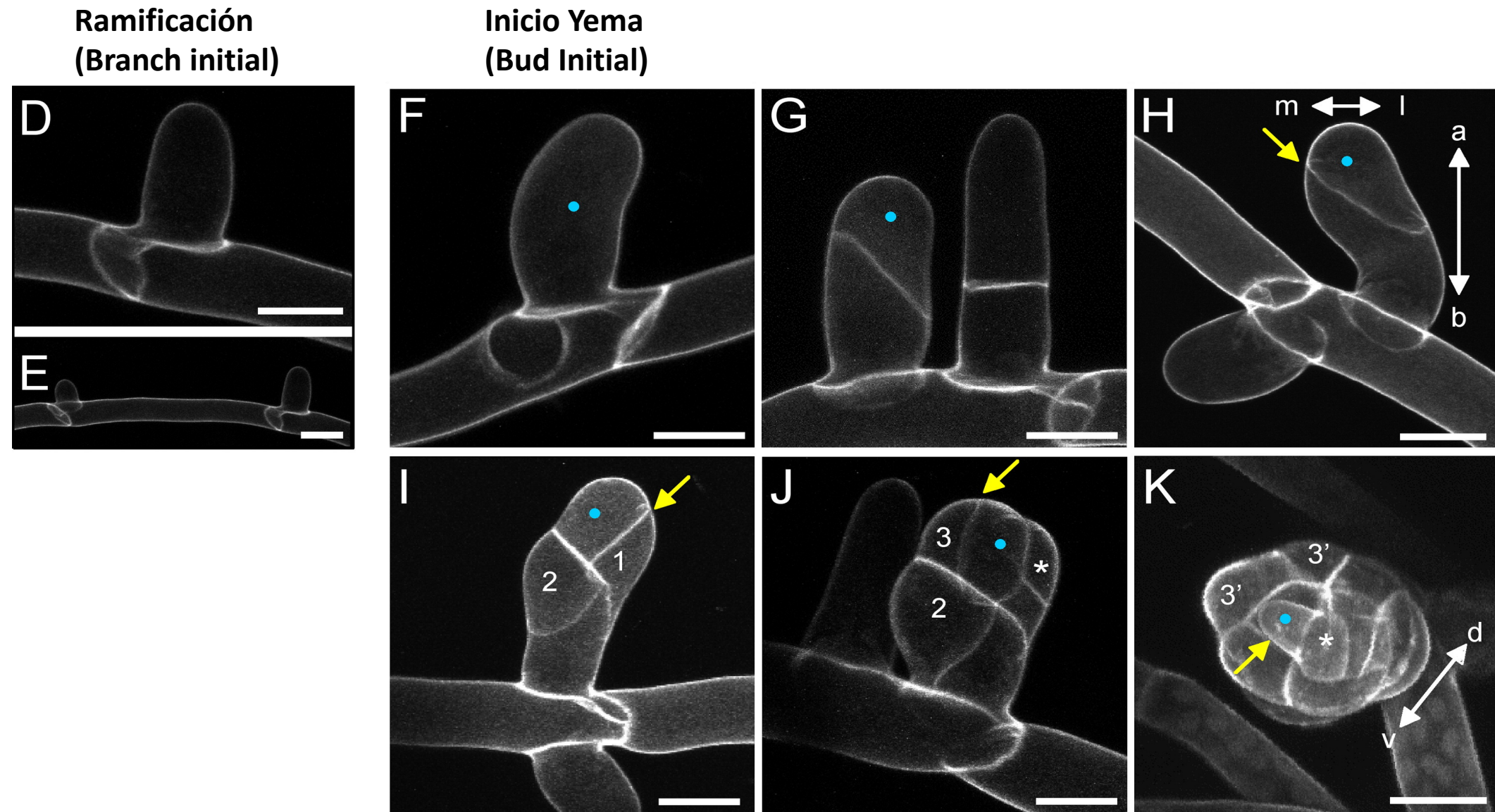
¿Cómo se determina el **destino celular** (CELL FATE) de gametóforo inicial (GI) en lugar de la ramificación lateral inicial (BI)?



# 1- Geometrical cues: PREDICEN DESTINO CELULAR GI vs. BI

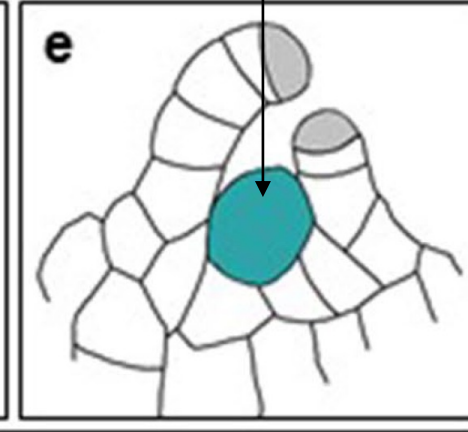
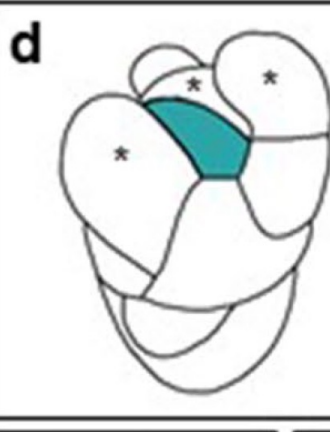
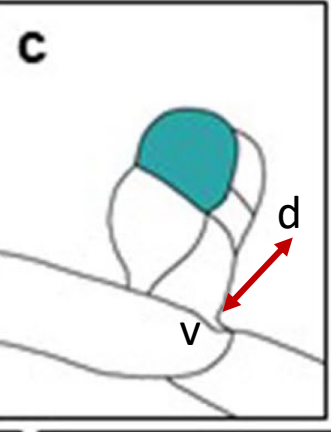
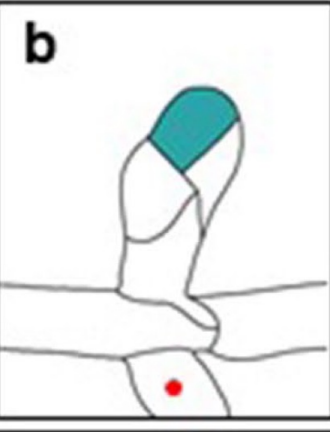
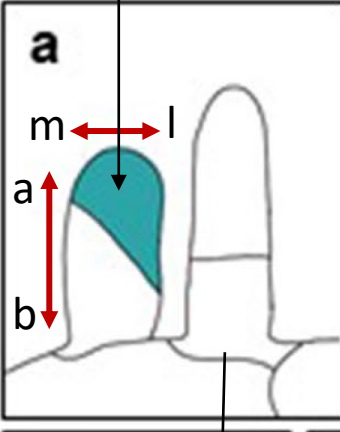


# Transición 2D (protonema) a 3D (yemas) en *P. patens*

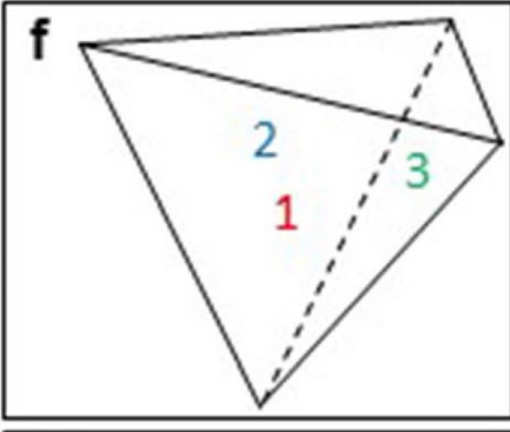


# Transición 2D (protonema) a 3D (yemas) en *P. patens*

Gametophore  
apical cell

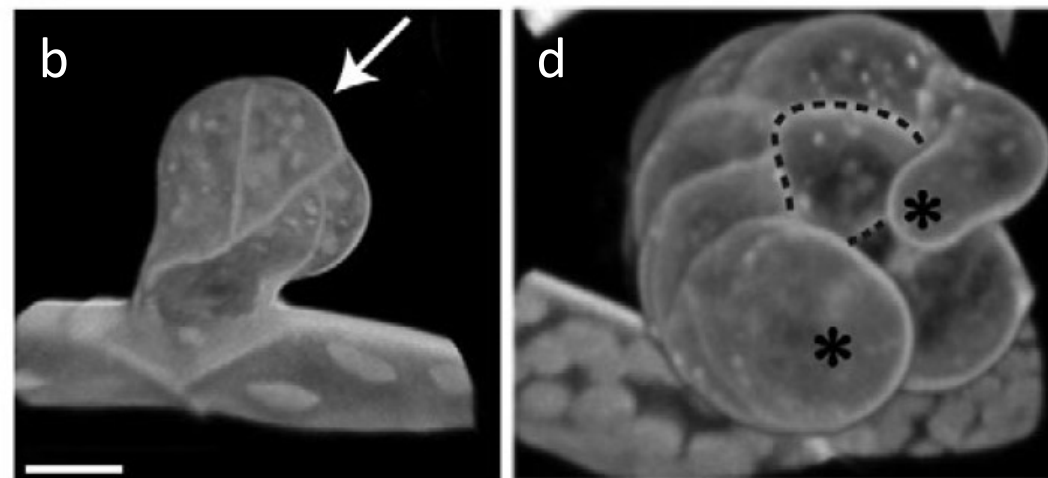


Tetraedric STEM CELL

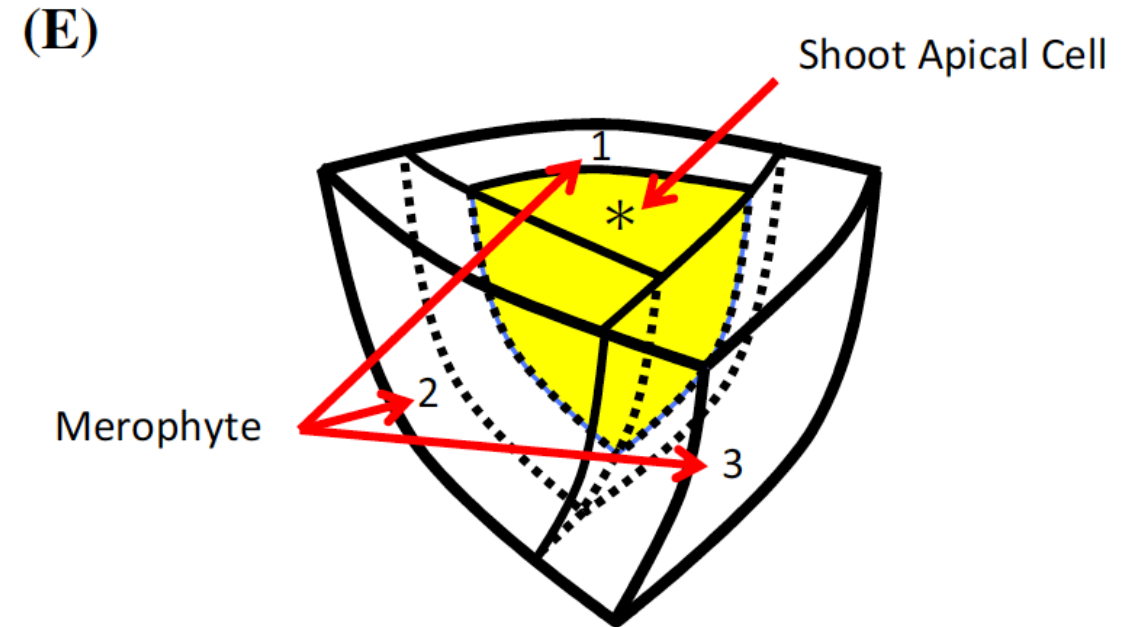
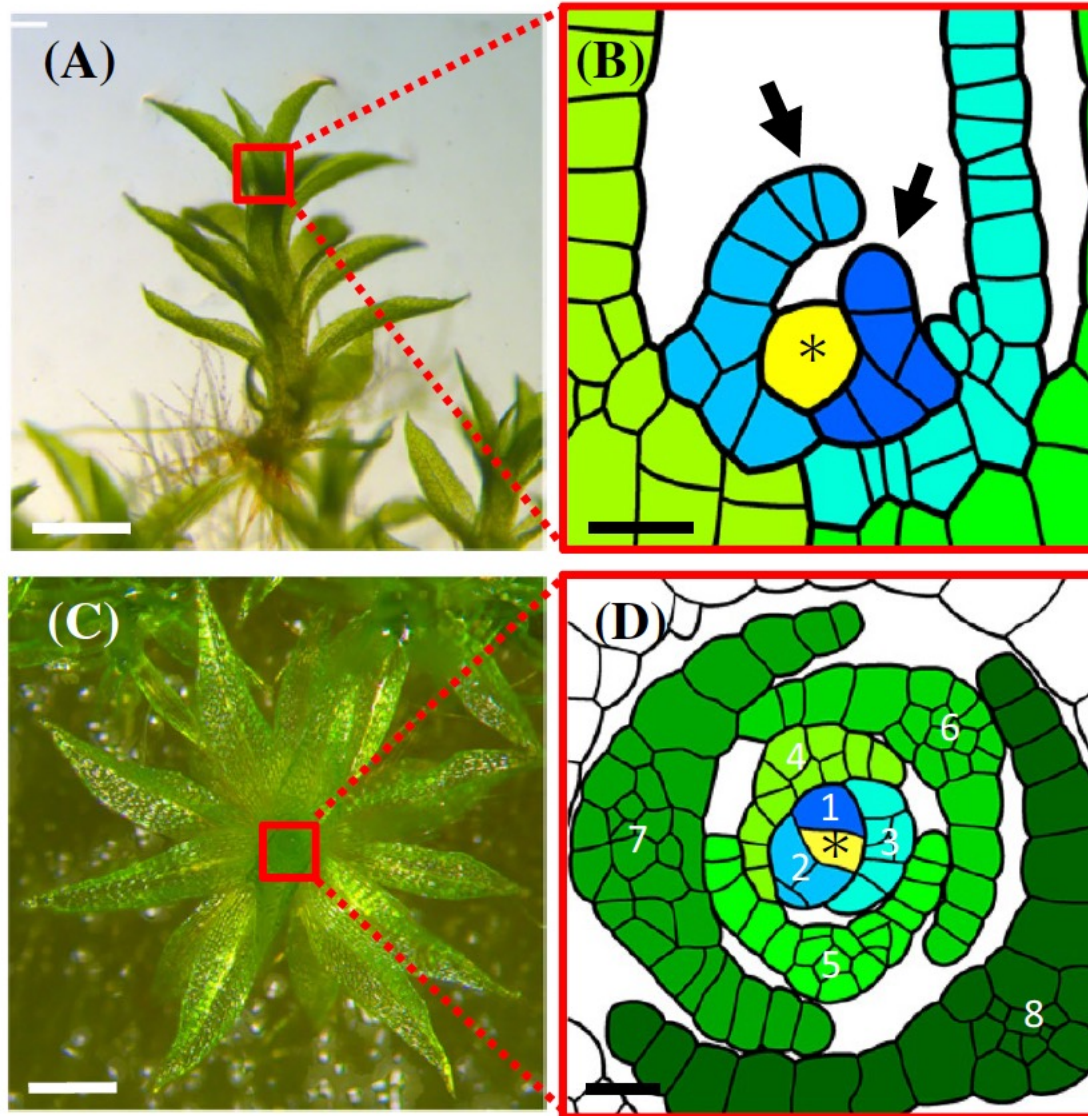


Cells derived from the apical cell (\*)  
become leaf/phyllid apical cells

2D protonemal  
apical cell

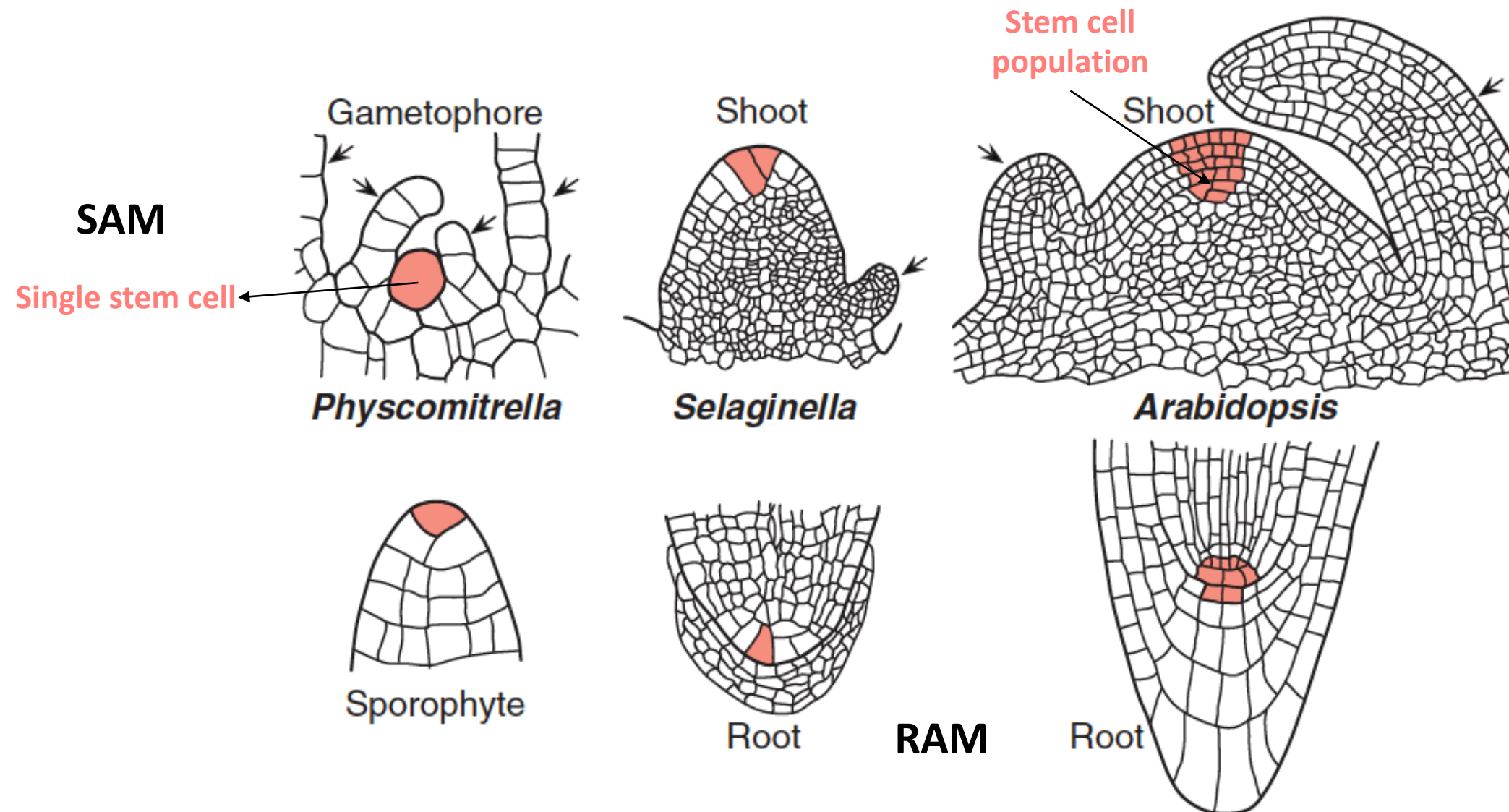


# Meristema compuesto por una única celula (single stem cell)



An asterisk indicates the **shoot apical cell**. Use of the same color indicates **clonal tissue originating from a single merophyte**. Arrows in panel b indicate **leaf primordia**. Numbers in panel d indicate the **developmental order of leaf primordia**.

# Evolución de los meristemas



## 2- Parental APBs (**A**integumenta, **P**lethora, **B**abyboom) TFs

PpAPBs: Reguladores maestros de la transición 2D-3D

Knock In *PpAPB4<sub>pro</sub>::PpAPB4-citrina*



Caulonema

Side Branch Initial  
and Parental Caulonema

Swollen Gametophore  
Apical cell

Gametophore  
Apical cell  
And its daughter

Secondary protonema  
Apical cell

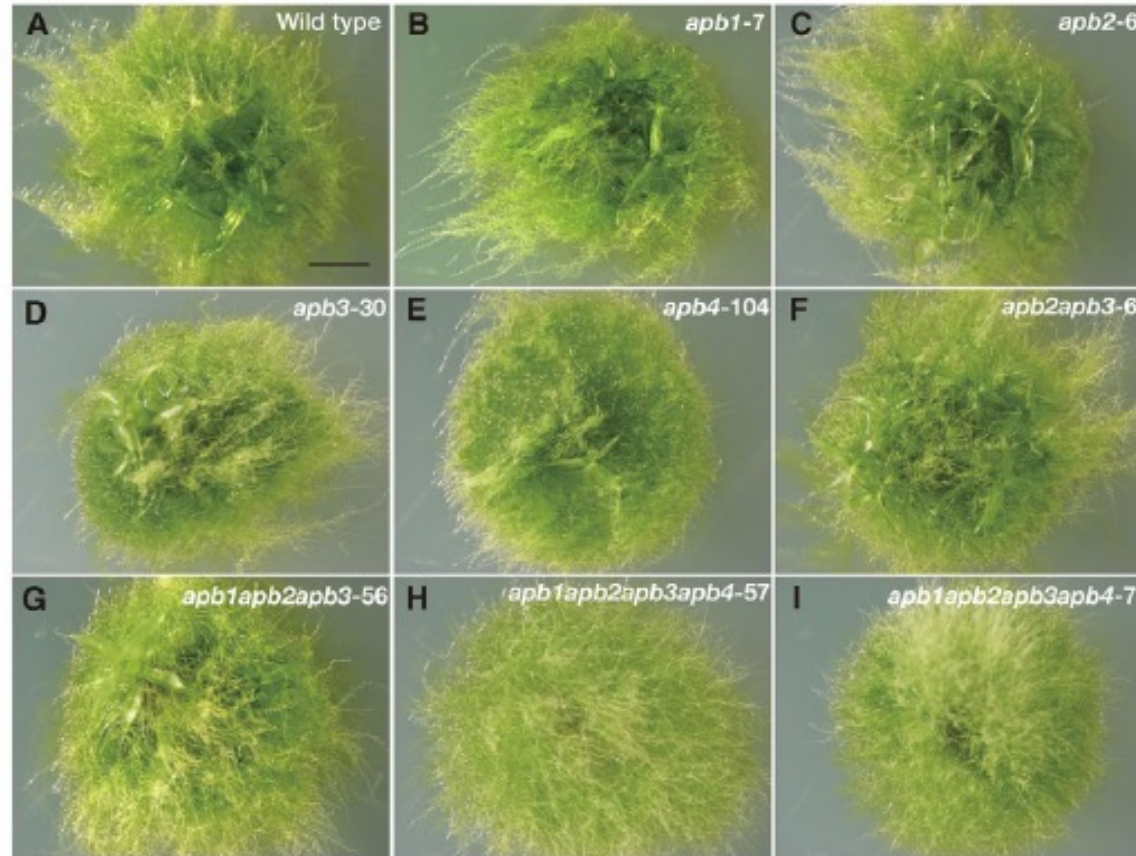
Aoyama et al., Development (2012)

Son regulados positivamente por auxinas

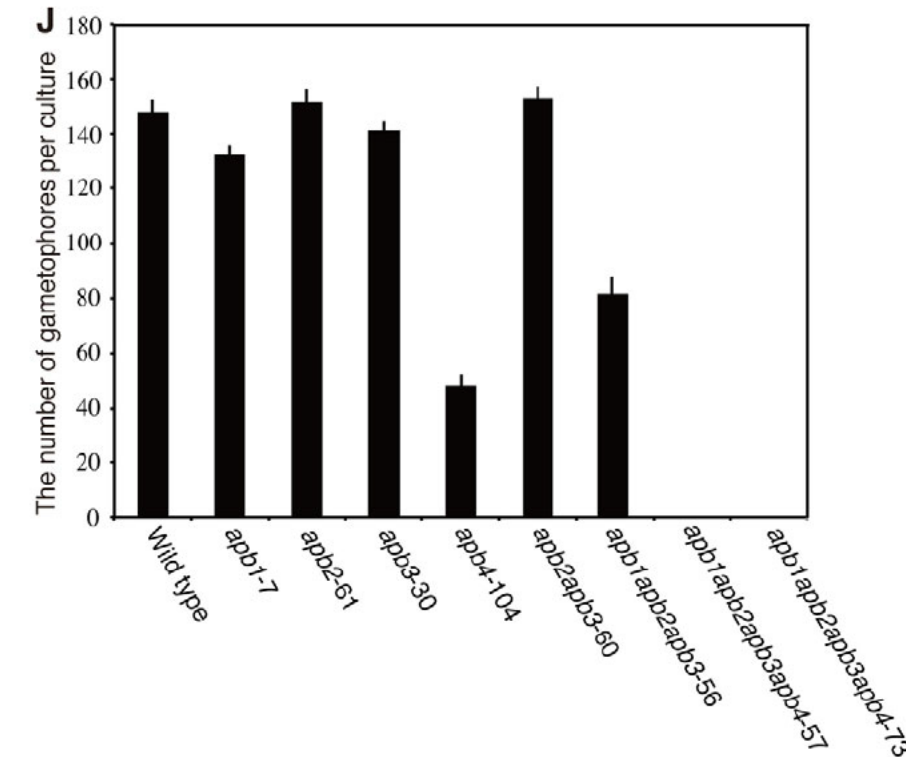
## 2- Parental APBs (**A**integumenta, **P**lethora, **B**abyboom) TFs

AP2-type transcription factors determine stem cell identity in the moss *Physcomitrella patens*

Tsuyoshi Aoyama<sup>1,2</sup>, Yuji Hiwatashi<sup>1,2</sup>, Mikao Shigyo<sup>3</sup>, Rumiko Kofuji<sup>4</sup>, Minoru Kubo<sup>1,5</sup>, Motomi Ito<sup>3</sup> and Mitsuyasu Hasebe<sup>1,2,5,\*</sup>

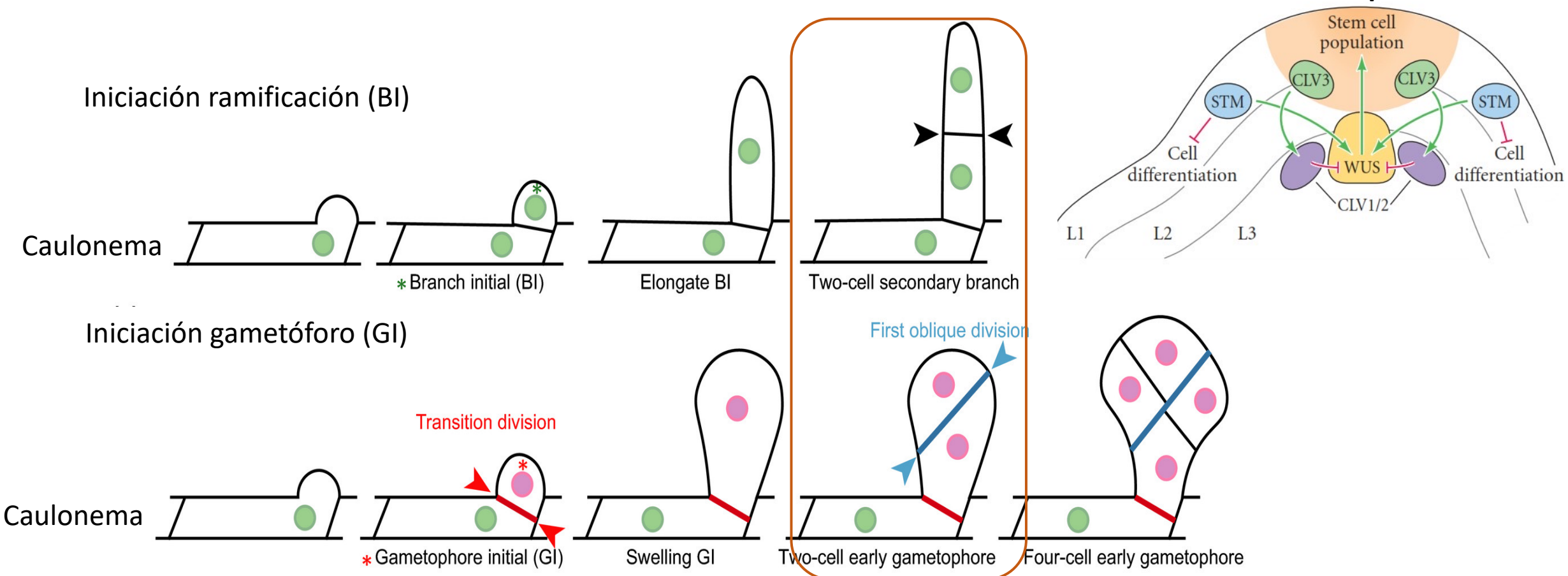


*PpAPB* promueven la formación de células initiales del gametofito (GIs)



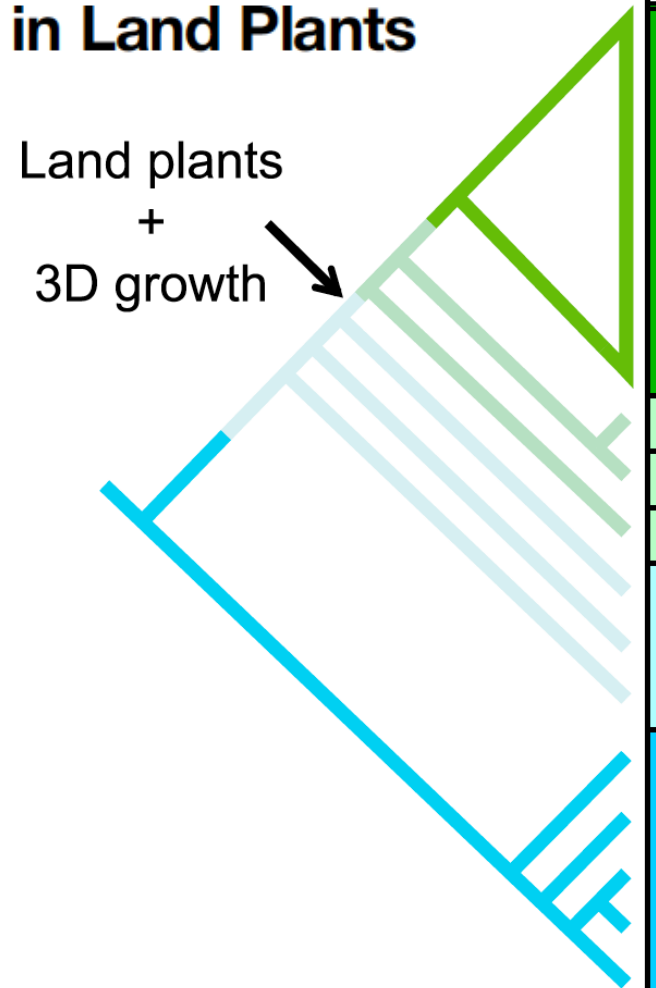
# Crecimiento 2D (protonema) o 3D (yemas) en *P. patens*

¿Qué mecanismo regula la orientación del plano de división celular para la transición 3D?



# 3- Clavata

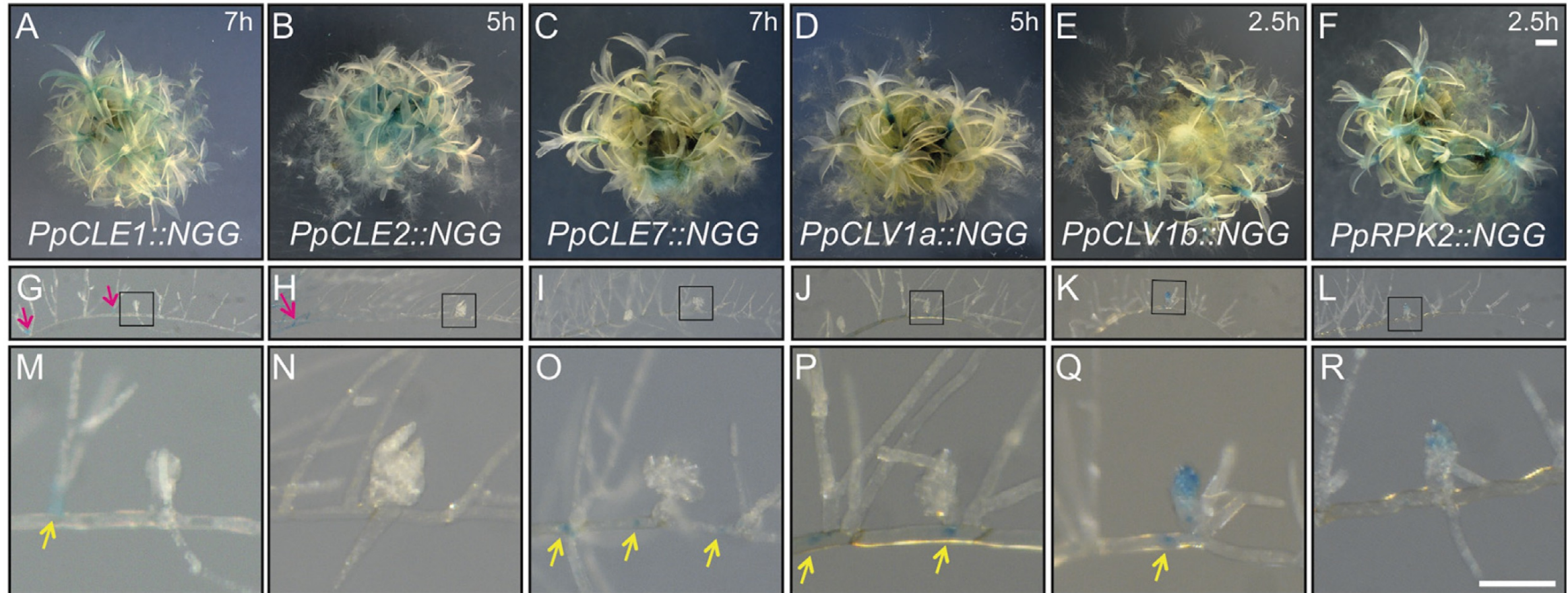
## CLAVATA Was a Genetic Novelty for the Morphological Innovation of 3D Growth in Land Plants



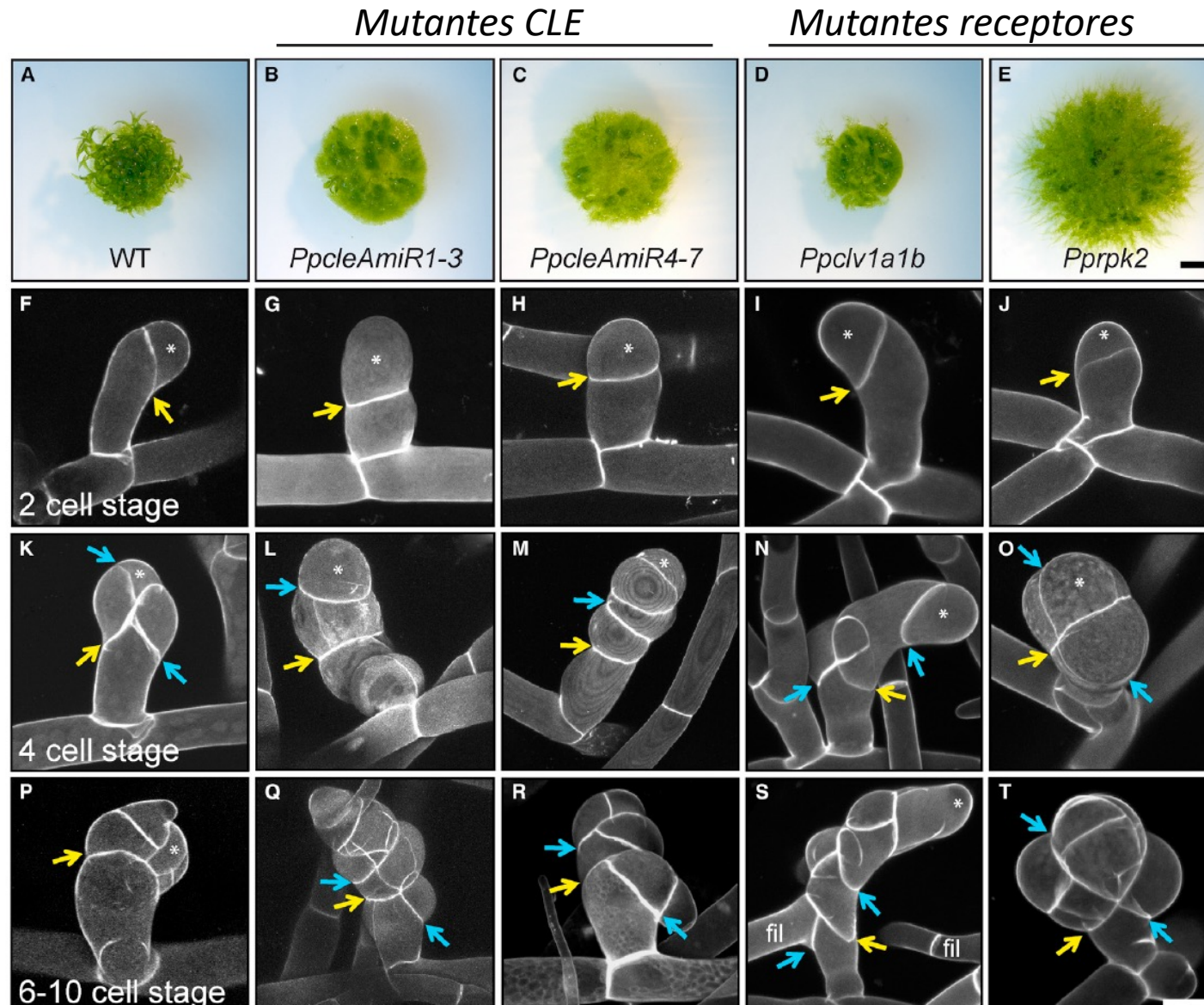
Clade	Species	CLE	TDIF	CLV1/BAM	RPK2	CLV2	CRN
VP	<i>Arabidopsis thaliana</i> (G)	32	5	4	1	1	1
	<i>Glycine max</i> (G)	38	6	10	5	2	2
	<i>Oryza sativa</i> (G)	36	3	4	2	1	1
	<i>Amborella trichopoda</i> (G)	8	1	5	2	1	1
	<i>Picea abies</i> (G)	52	17	4	3	1	1
	<i>Diplazium wichurae</i> (T)	2	0	2	2	0	0
L	<i>Selaginella moellendorffii</i> (G)	15	4	3	1	0	0
	<i>Marchantia polymorpha</i> (G)	2	1	1	1	0	0
	<i>Physcomitrella patens</i> (G)	7	0	2	1	0	0
H	<i>Anthoceros agrestis</i> (G)	1	1	1	0	0	0
Cha	<i>Coleochaete nitellarum</i> (T)	0	0	0	0	0	0
	<i>Spirogyra</i> sp. (G)	0	0	0	0	0	0
	<i>Chara braunii</i> (G)	0	0	0	0	0	0
Chl	<i>Ostreococcus tauri</i> (G)	0	0	0	0	0	0
	<i>Chlorella vulgaris</i> (G)	0	0	0	0	0	0
	<i>Volvox carteri</i> (G)	0	0	0	0	0	0
	<i>Chlamydomonas reinhardtii</i> (G)	0	0	0	0	0	0
	<i>Ulva</i> spp. (T)	0	0	0	0	0	0

# Expresión CLE-Clavata principalmente en crecimiento 3D

Promoter::NLSGFPGUS (promoter::NGG) fusion lines for PpCLE1, PpCLE2, PpCLE7, PpCLV1a, PpCLV1b, and PpRPK2



# Mutantes *c/v* tienen defectos en la transición 2D-3D



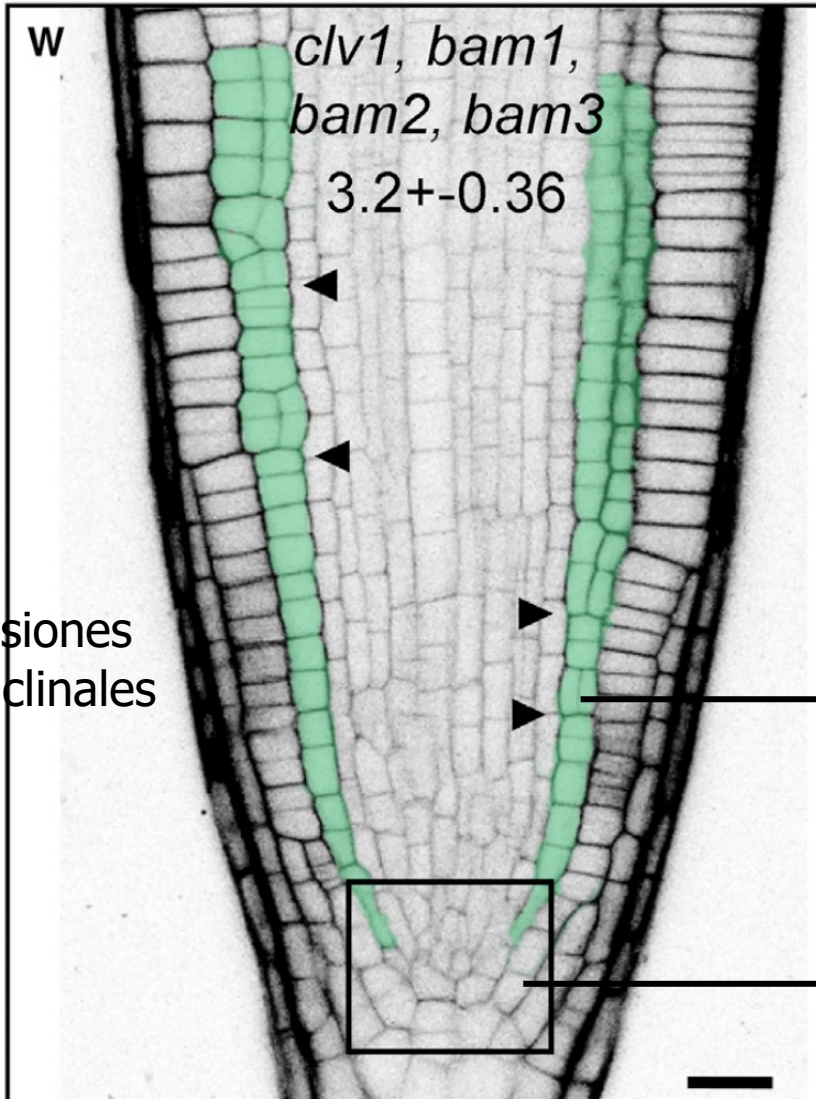
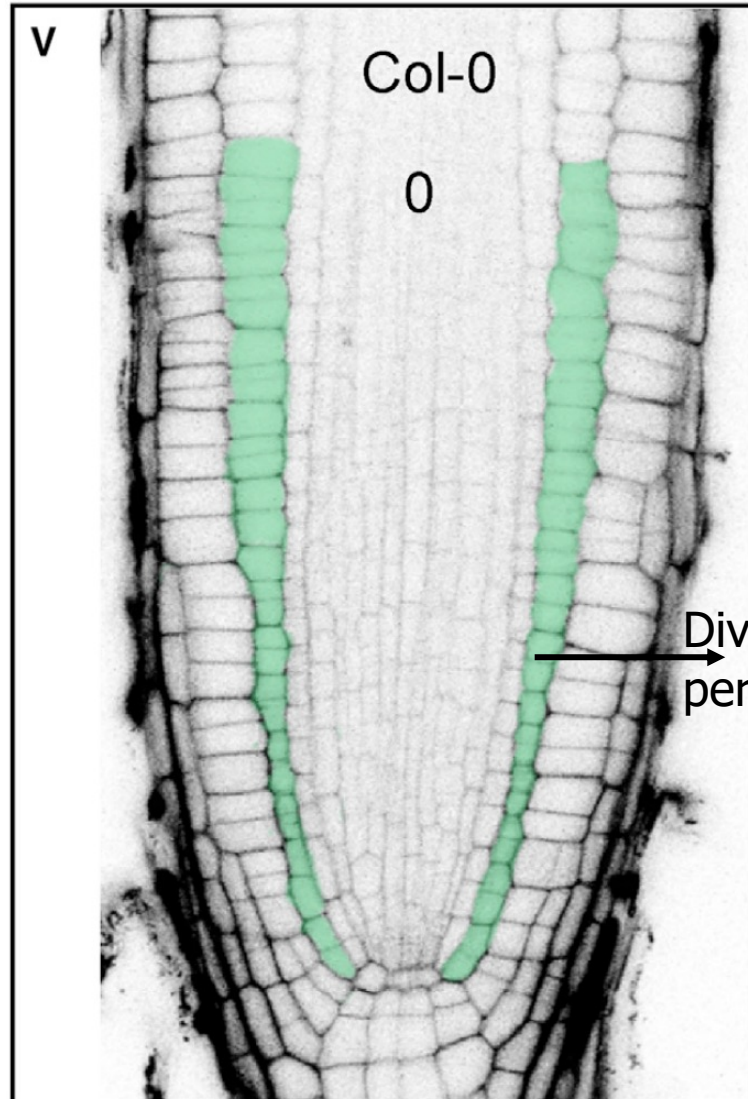
Relatively normal 2D growth phase

3D Plane orientation defects in the first division



WT and mutant gametophore development diverge at the single-cell-stage after cell fate is specified

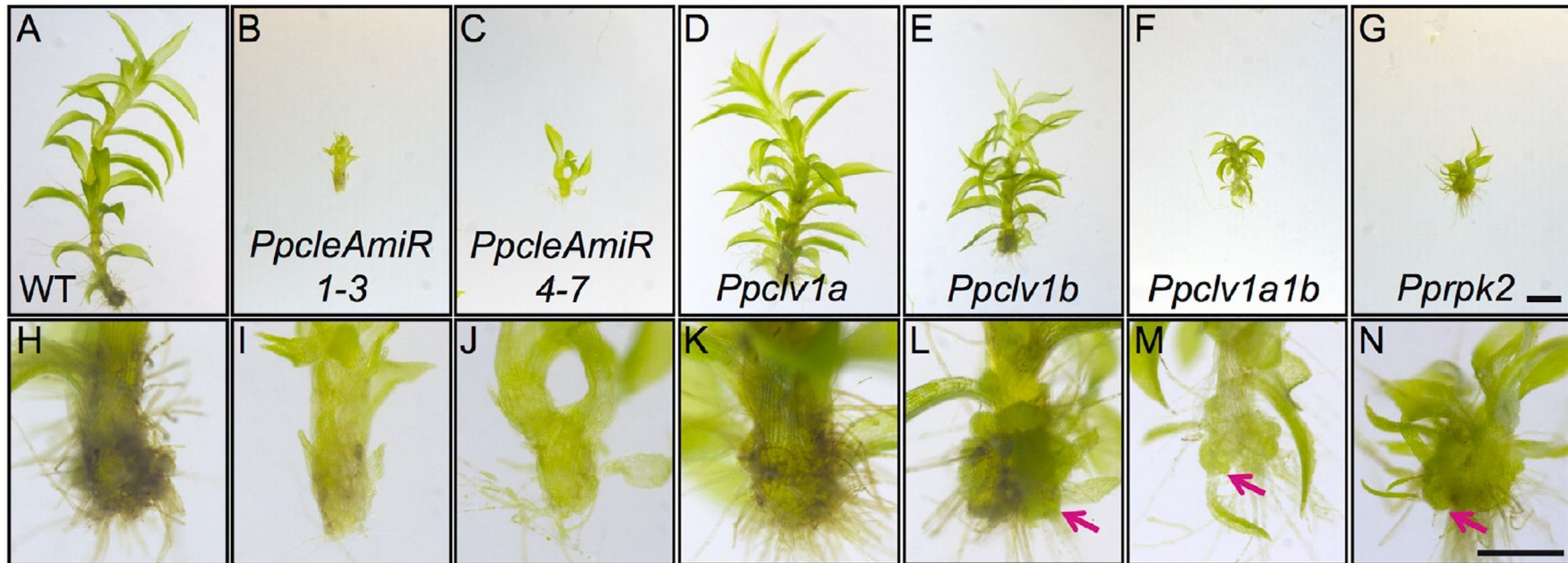
# CLV orienta el plano de division celular en Physcomitrella y Arabidopsis



CLV role in cell division plane orientation is conserved between Physcomitrella and Arabidopsis.

# Mutantes *c/v* tienen defectos en el desarrollo de gametóforos

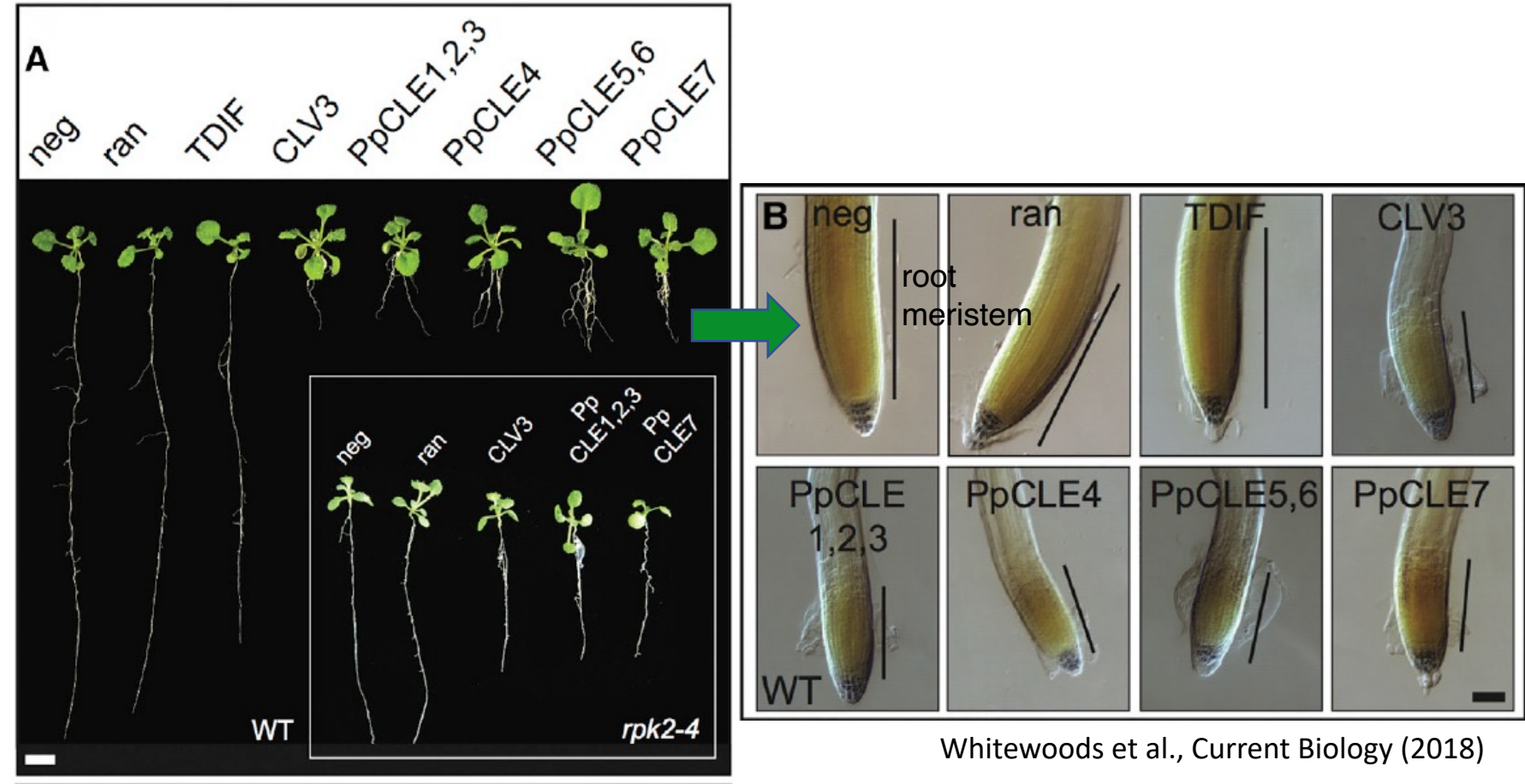
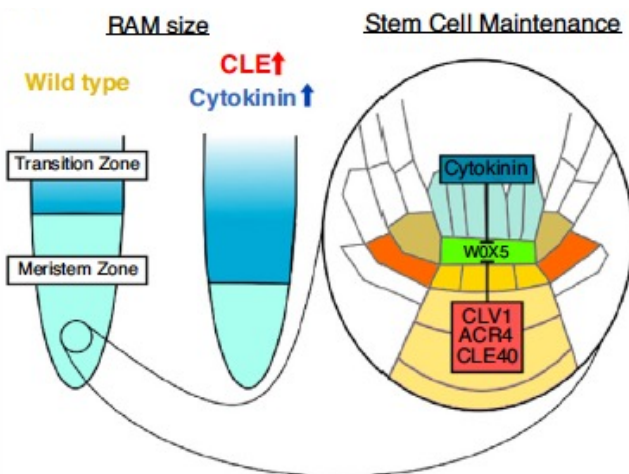
All mutants have a strong cell Fate and/or proliferation defects, **developing a callus-like mass at the gametophore base, inability to differentiate.**



# Los péptidos CLE actúan sobre receptores conservados *Pp* y *At*.

La adición de péptidos CLV3/PpCLEs arresta la función meristemática radical en *Arabidopsis*

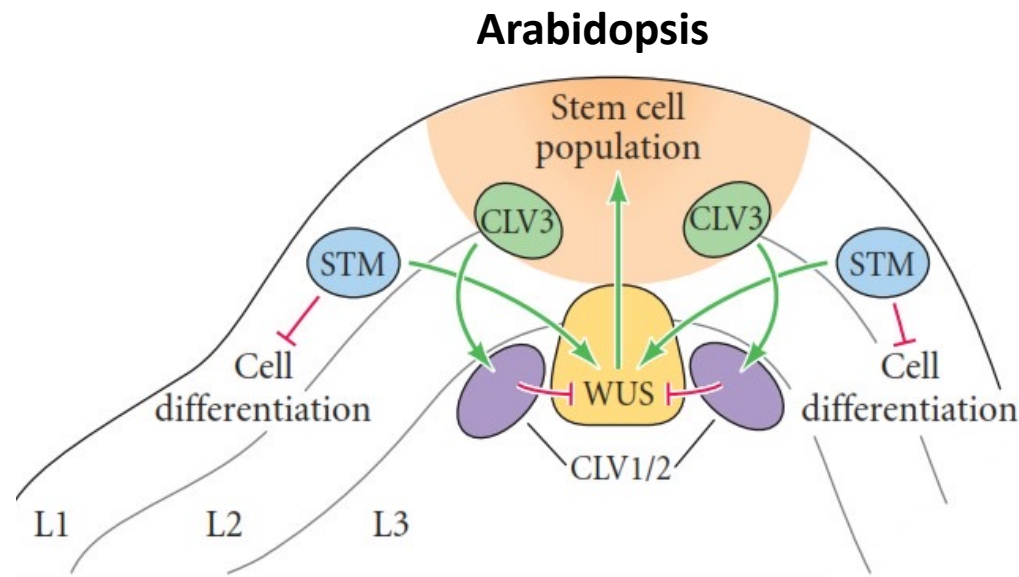
CLE → Cytokinin → Difer.



# Relevancia de estudios de Clavata en *Physcomitrium patens*

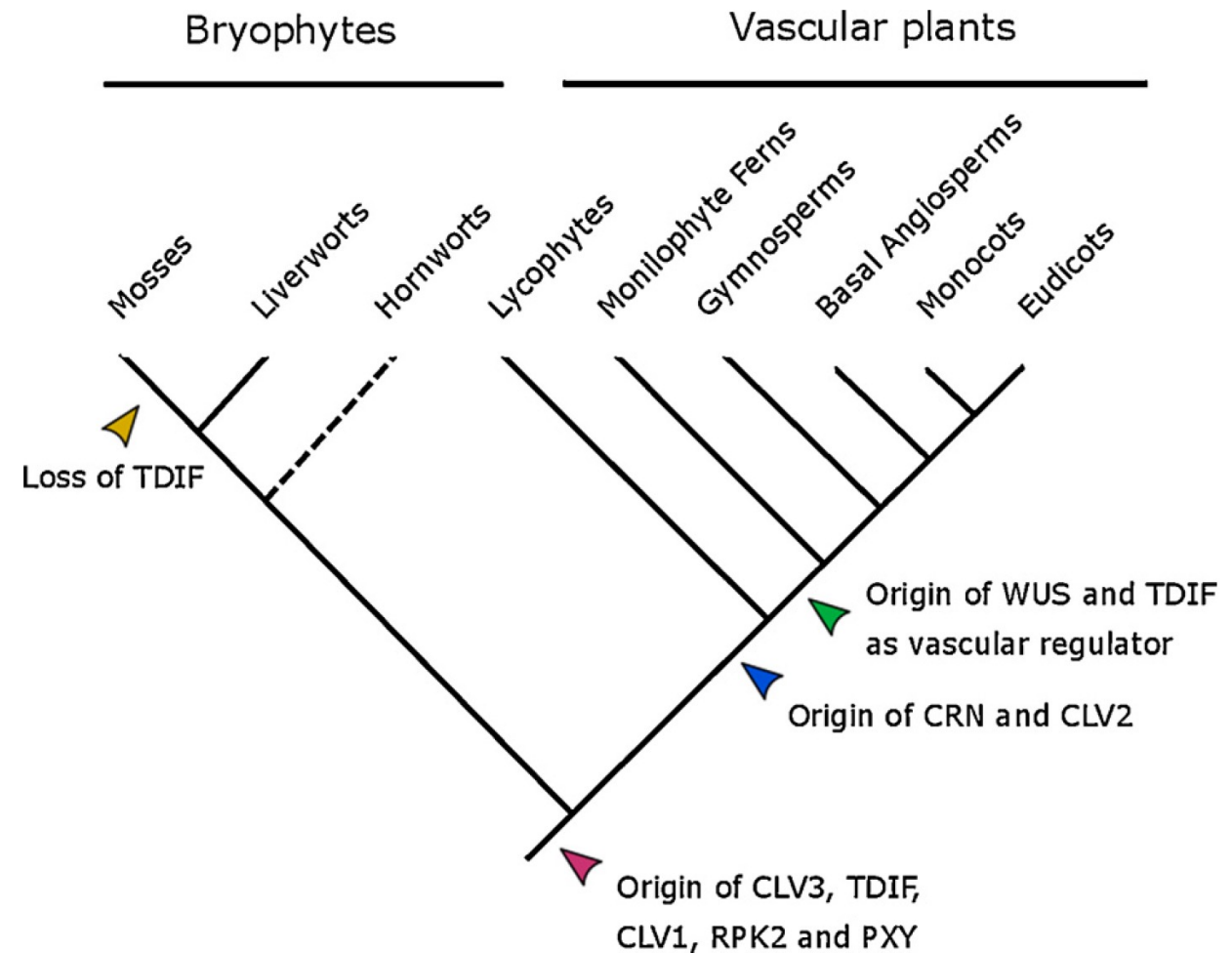
- La vía CLV se originó con las plantas terrestres.
- La capacidad adquirida por las plantas para **orientar las divisiones de células madre en múltiples planos permitió la diversificación** al posibilitar que las plantas desarrollaran ejes verticales con órganos dispuestos en múltiples orientaciones, un paso crucial en la evolución del brote (shoot).
- La proliferación y función de las células madre regulada por CLV (SAM) es probable que sea una característica ancestral de las plantas terrestres. En briófitas CLAVATA actúa independiente de WUSCHEL-like (WOX).

# Evolución de redes génicas regulatorias: *CLV-WUS*



## WUS (KNOX type I):

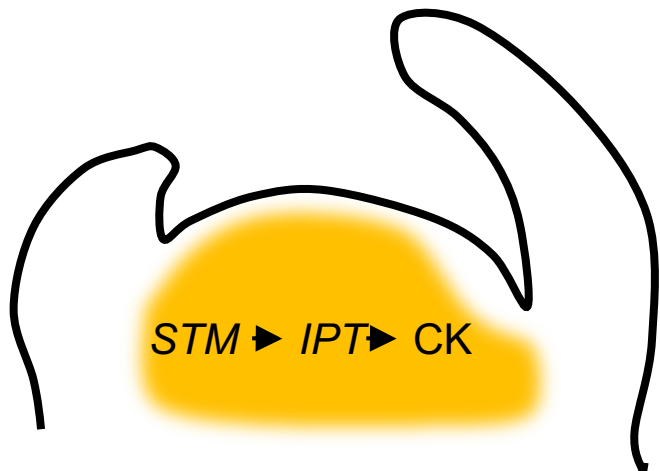
- Promotes Stem Cell identity
- Direct target of CKK signaling
- Ausente en briófitas, evoluciona en plantas vasculares



# Genes *KNOX1* en *P. patens*: *MKN2*, *MKN4*, *MKN5* en esporofito

## Arabidopsis

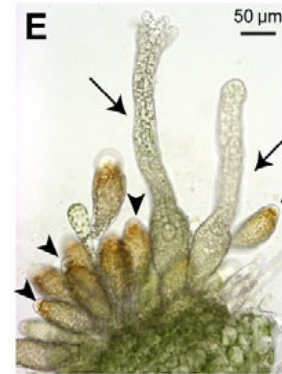
Los genes *KNOX1* actúan en parte estimulando la síntesis de CKs



Regulan la proliferación del meristema  
Indeterminación del meristema

## *PpMKN2* se expresa durante la fase esporofítica en *P. patens*

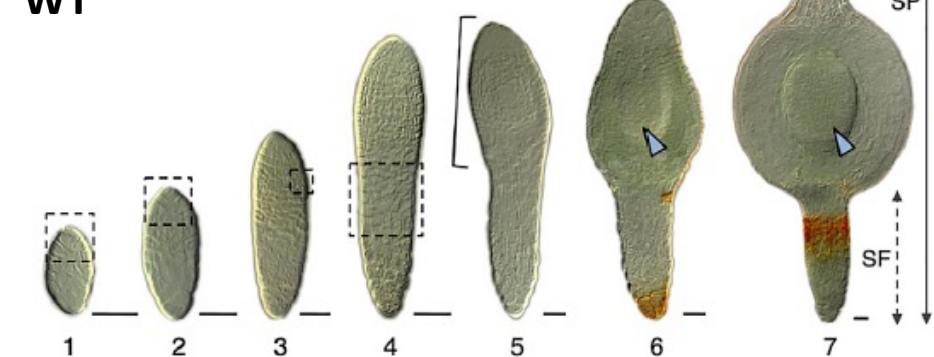
### Arqueonio



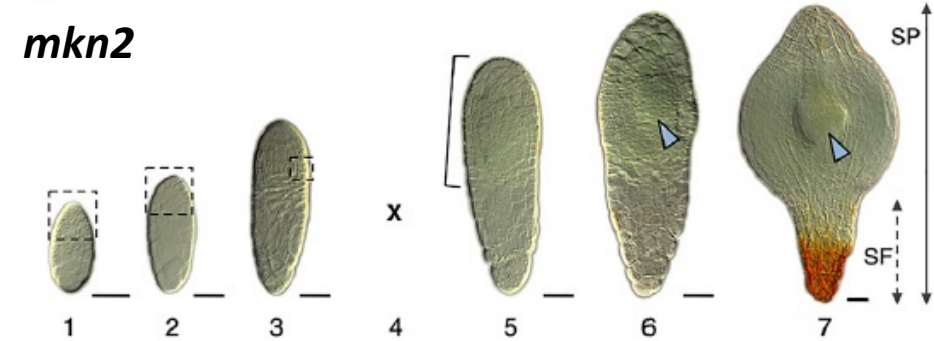
### Esporofito



WT



*mkn2*

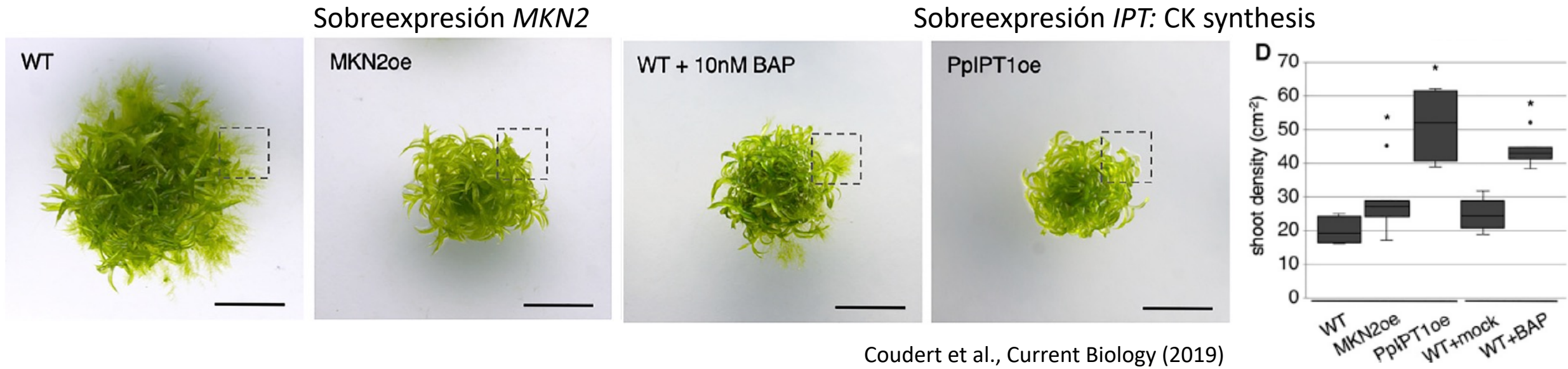


Coudert et al., Current Biology (2019)

***PpMKN2* promueve la división de la región intercalar del esporofito**

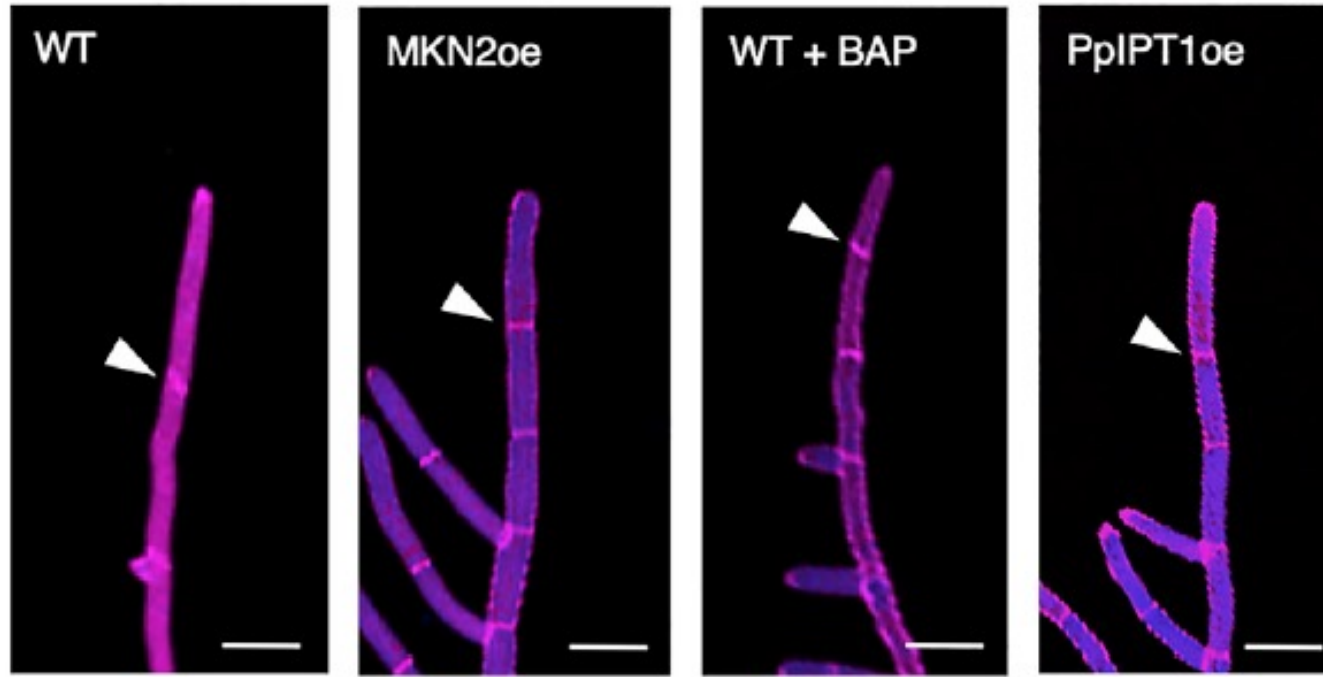
4: proliferative activity in an intercalary region

# Genes *KNOX1* en *P. patens*: *MKN2* y citoquininas

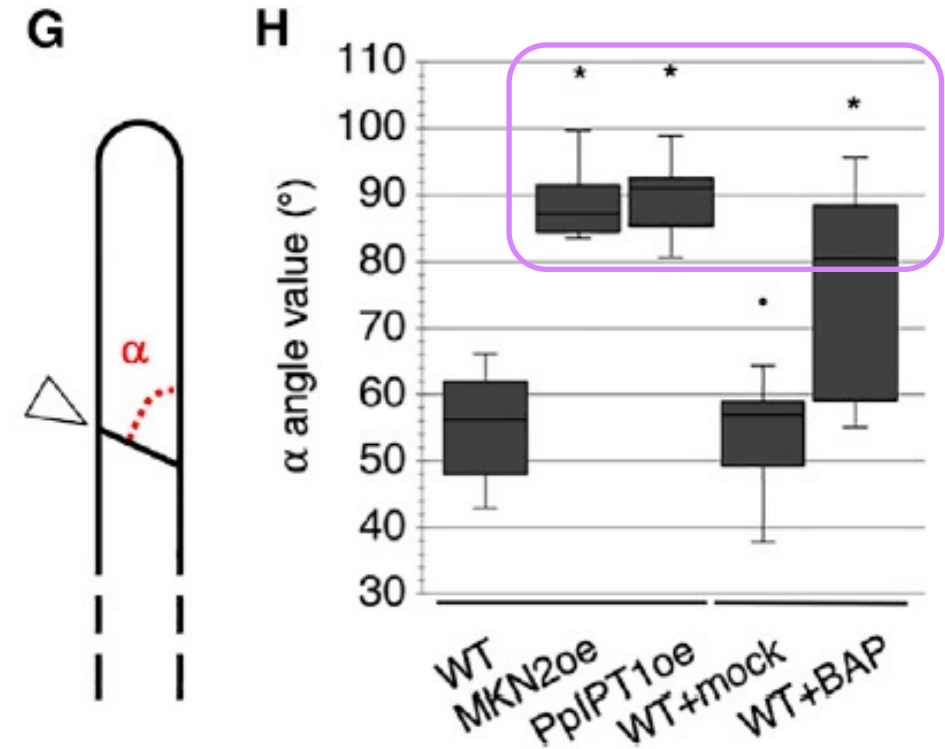


**Plant spread was reduced to about 40% of the WT area  
.... Defective chloronema-to-caulonema transition??**

# Genes *KNOX1* en *P. patens*: *MKN2* y citoquininas



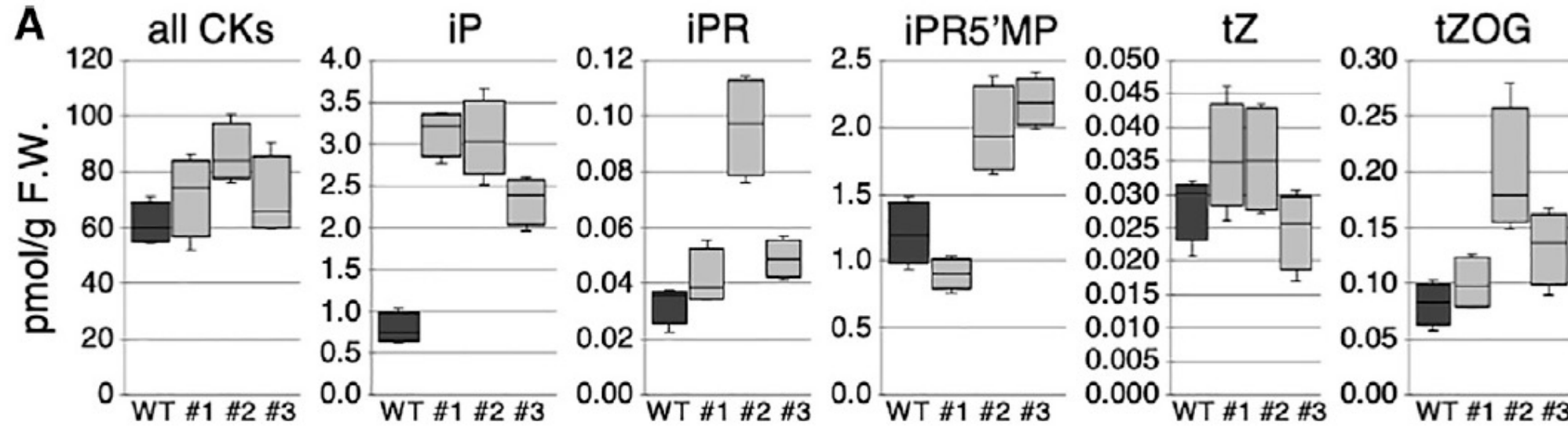
Coudert et al., Current Biology (2019)



Ectopic *MKN2* expression in gametophytes suppresses the normal switch from chloronema to caulinema identity! .....

Perturbations in cytokinin levels??

# Expresión ectópica de *MNK2* acumula citoquininas



Coudert et al., Current Biology (2019)

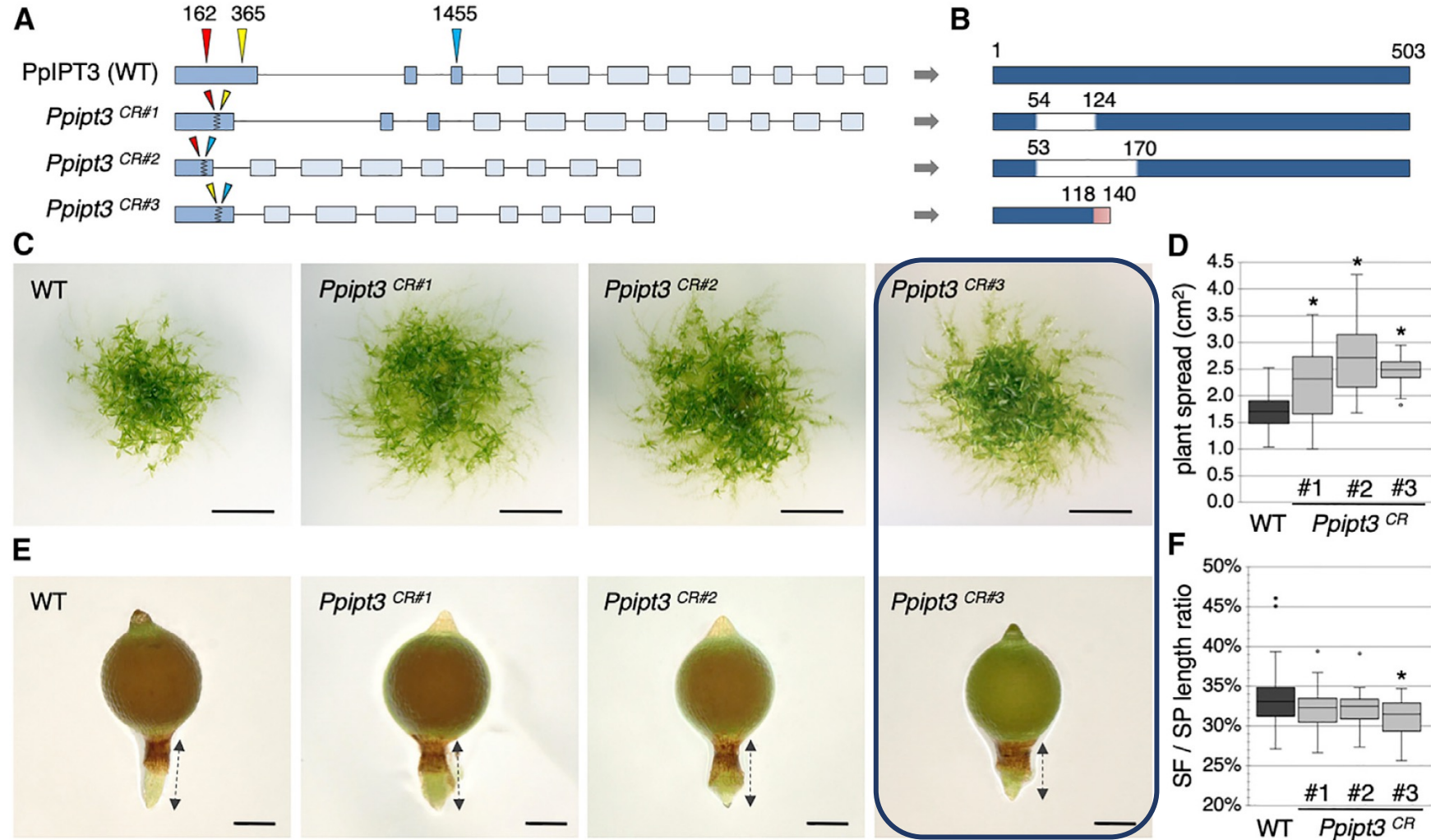
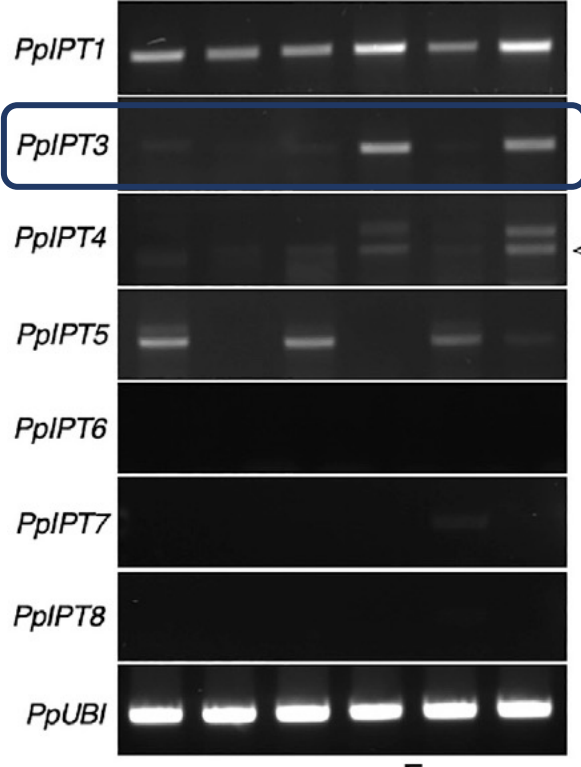
**Cytokinin (CK) profiling showed a global increase in CK levels in three independent *MKN2* oe transgenic lines relative to WT controls....**

*PpMKN2* acts via *PpIPTs*???

# *PpIPT3* Promueve la Extensión Axial del Esporofito de *P. patens*

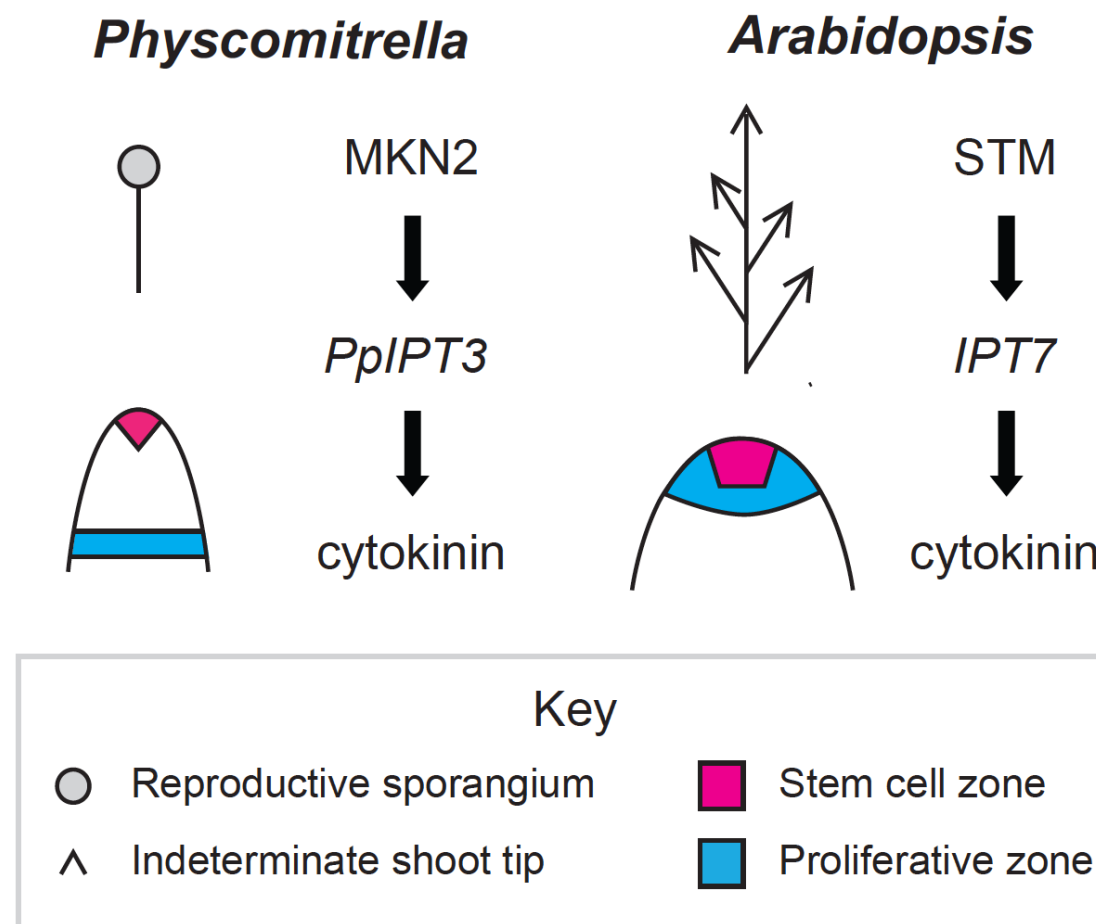
## *PpIPTs* expression

D	<i>mkn2</i> GR	<i>mkn2</i> MKN2-GR #1	<i>mkn2</i> MKN2-GR #2
-	+	-	+



# Evolución de los Meristemas: crecimiento indeterminado

## Genetic network for sporophyte axis extension

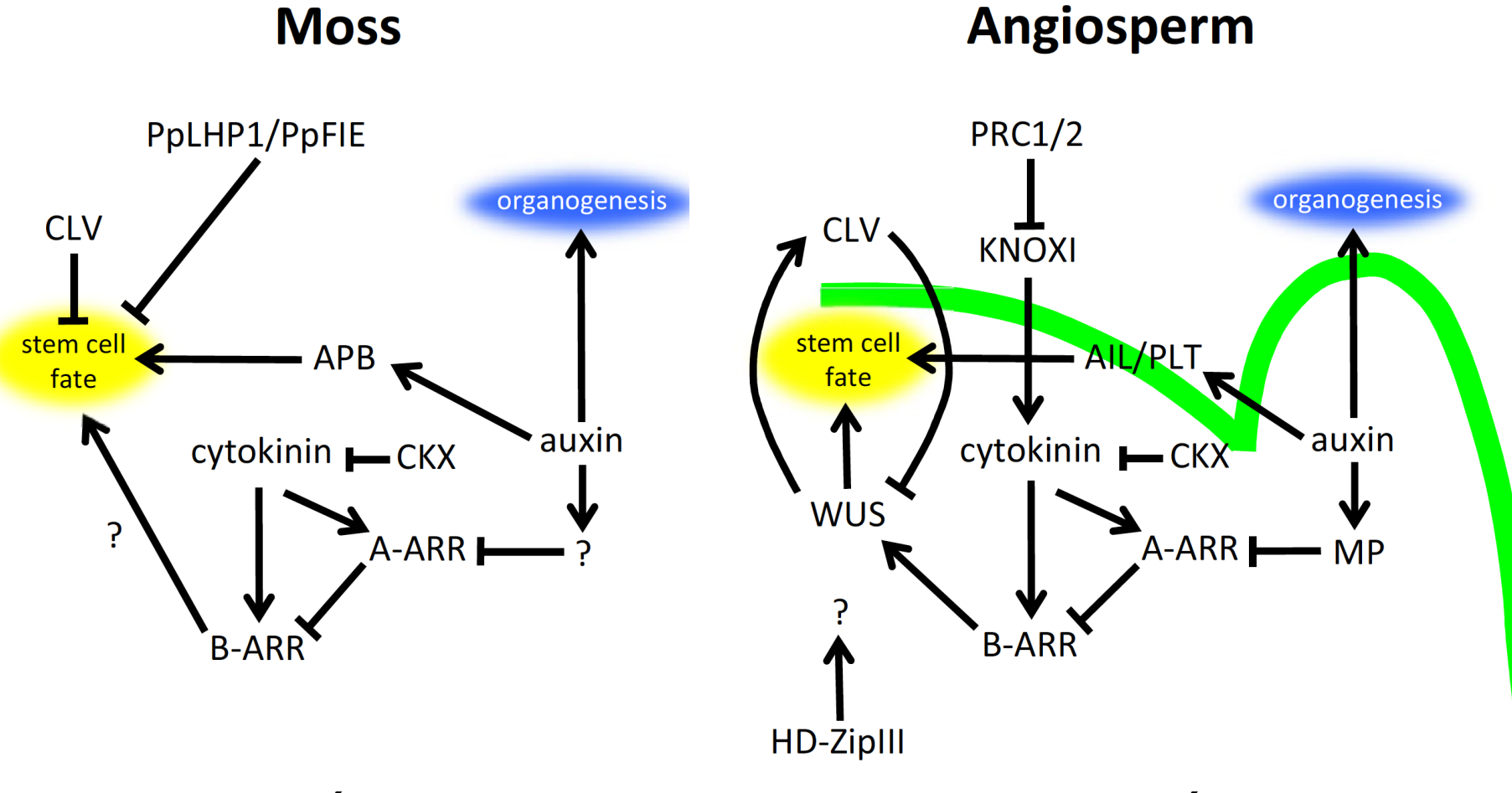


The activation of CK biosynthesis by a class I KNOX protein in *Physcomitrella* suggests that a KNOX-cytokinin regulatory module is conserved between vascular plants and mosses.

Vascular plant KNOX-cytokinin-regulated meristem functions may have derived directly from a functional unit operating in their ancestors.

There is genetic homology between the proliferative zones of vascular plant meristems and the intercalary region of moss setae.

# Rutas de señalización para el establecimiento y mantenimiento de células madre pluripotentes en SAM

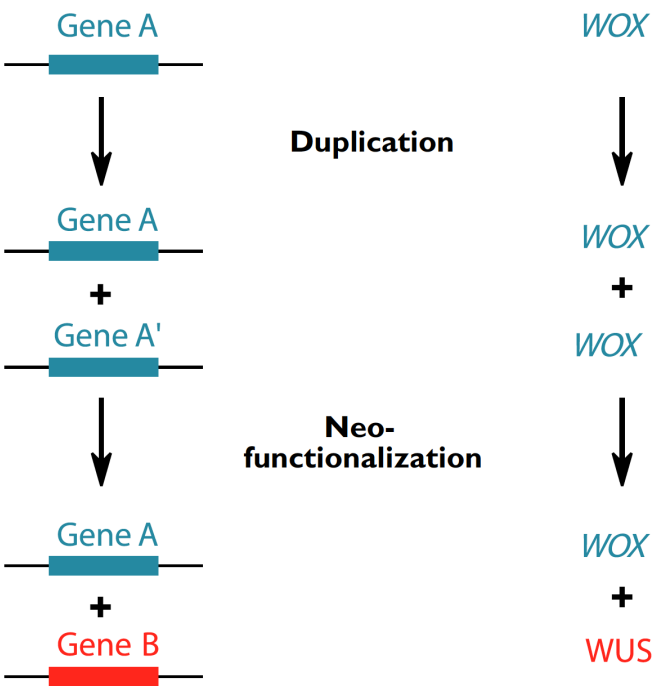


**Possible escenario:** Co-optación parcial de los programas del SAM gametofítico al SAM esporofítico y el reclutamiento de reguladores adicionales en las líneas de plantas vasculares.

# Evolutionary mechanisms underpinning meristem diversification in land plants

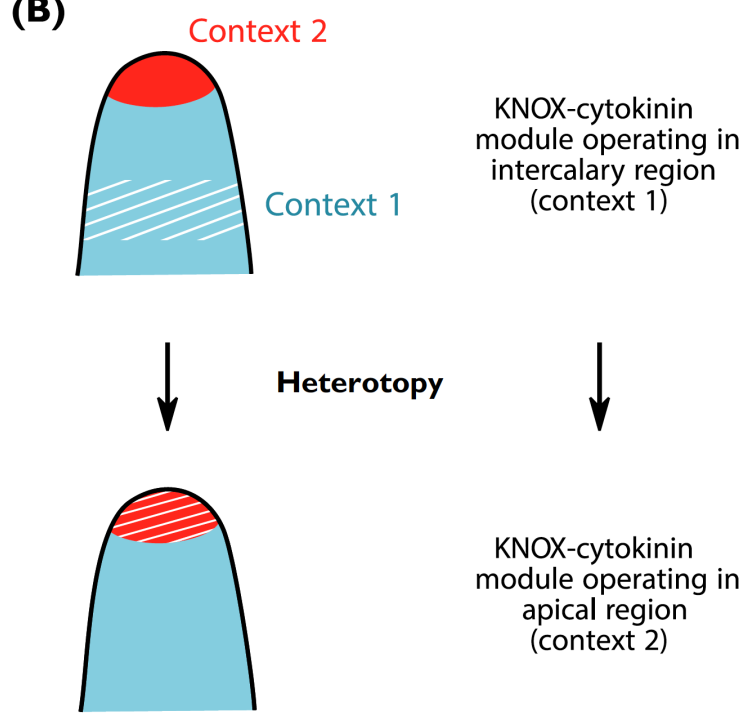
## Elaboration of new modules

(A)



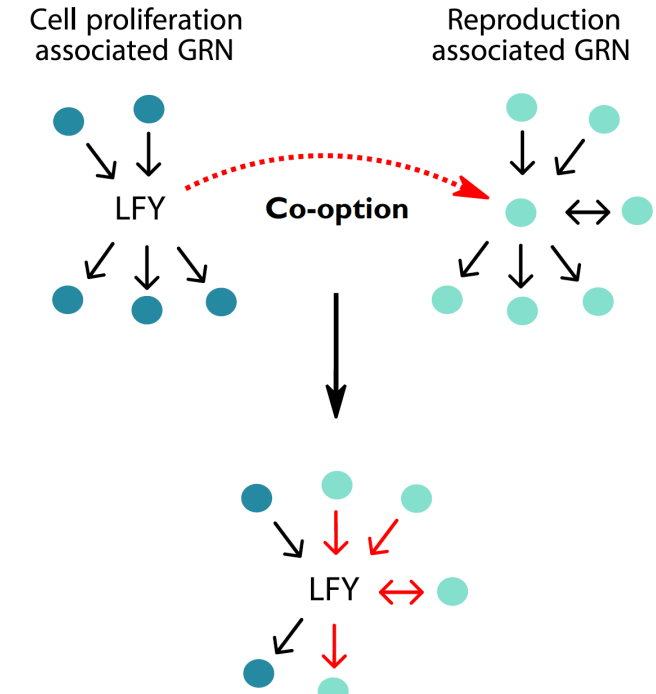
CLE-CLV en gametofito Pp  
CLE-CLV-WUS regulan tamaño SAM  
esporofito Aa

(B)

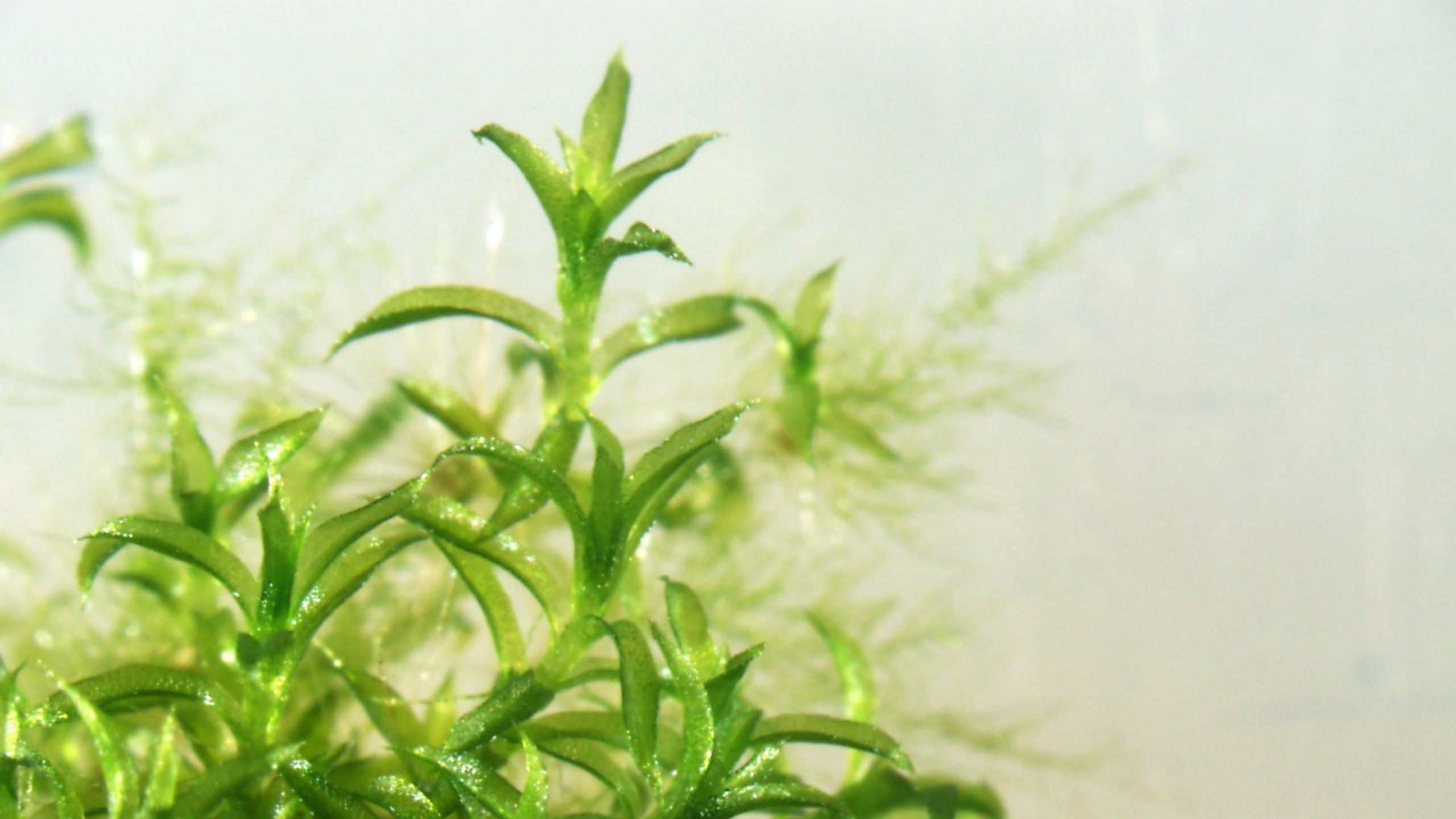


KNOXI (MKN2, IPT3) meristema intercalar  
esporofito Pp  
KNOX I (STM, IPT7) en SAM Aa

(C)



LFY bloquea 1 división celular cigoto Pp  
LFY activa genes homeóticos para los  
órganos florales en Aa



# KNOX1/KNOX2 gene duplication and neofunctionalization – instrumental in the establishment of alternation of generations in land plants

**Gene duplication:** key drivers in generating ***evolutionary novelty***. Following gene duplication, paralogs can undergo a process of **neofunctionalization**, supplying a genetic basis for **morphological novelty**.

